

27/09-01/10/2021 Club Belambra "Belgodere, Golfe de Lozari", Haute Corse

Accélération d'électrons par laser-plasma des expériences aux collisionneurs

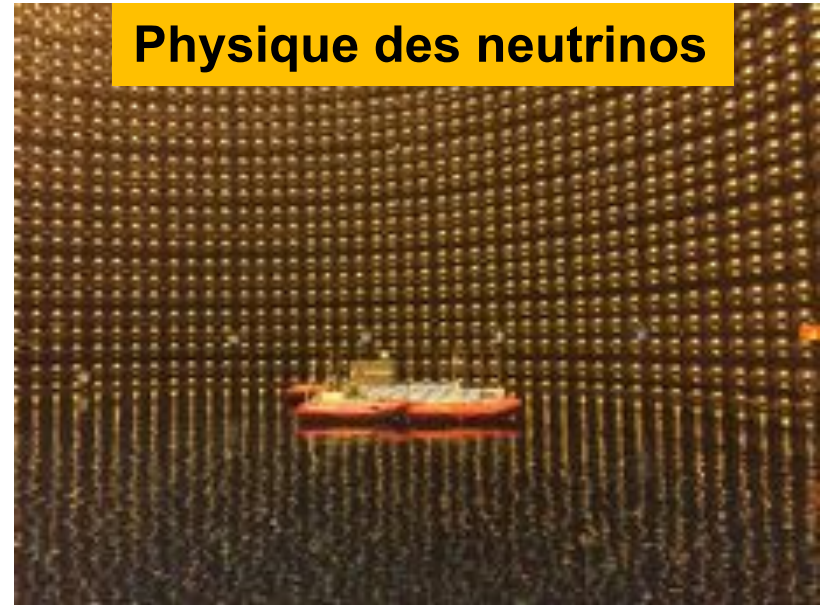
Arnd Specka

Laboratoire Leprince-Ringuet, École polytechnique, Palaiseau

Physique auprès de collisionneurs



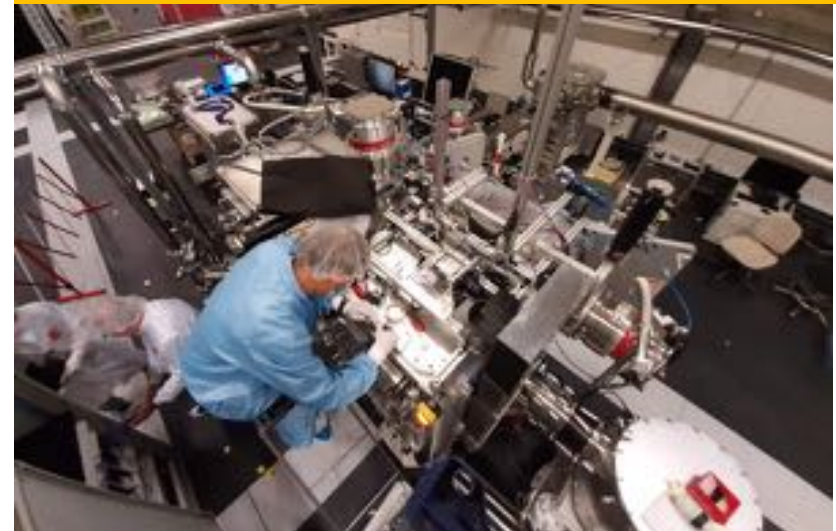
Physique des neutrinos



Astronomie gamma



Accélération & Interdisciplinaire



Remarques (pré)liminary remarks

- Des “manips” aux collisionneurs
 - les bases
 - 1ères expériences auprès d’APOLLON
 - vers les collisionneurs: développement récents (sélection)
 - perspectives d’avenir

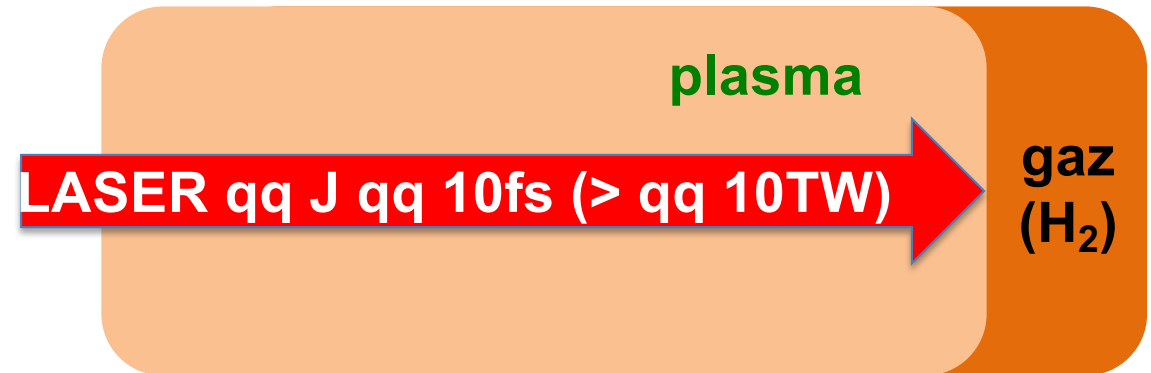
- Biais fort:
 - application to high energy physics
 - perspective: European Strategy for Particle Physics (CERN driven)

Principe de l'Accélération par Laser et Plasma d'électrons (ALPe)

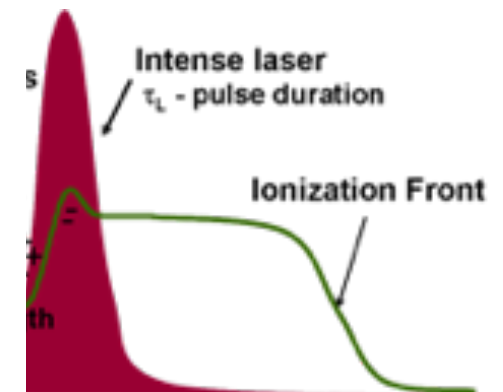
- Les experiences d'ALPe sont "faciles" à réaliser (si on a un laser)
- La *Chirped Pulse Amplification* (CPA) a "démocratisé" l'ALPe



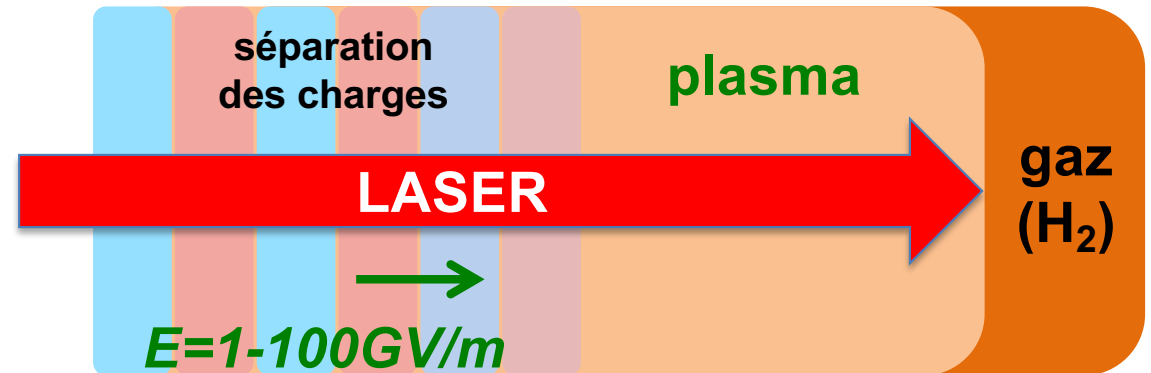
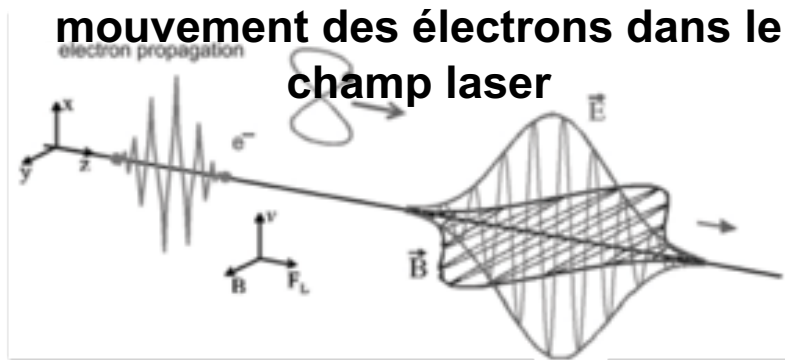
ALPe — étape 1/3: IONISATION



- laser de puissance à impulsion courtes:
> ~20TW, 20-100fs, > 1 J
- En pratique: TiSaphire $\lambda_0=0.8\mu\text{m}$
- Focalisé à $> 10^{18} \text{ W/cm}^2$
- ionisation par effet de champ
- plasma sous-dense: $n_e = 10^{16}-10^{19} \text{ cm}^{-3}$

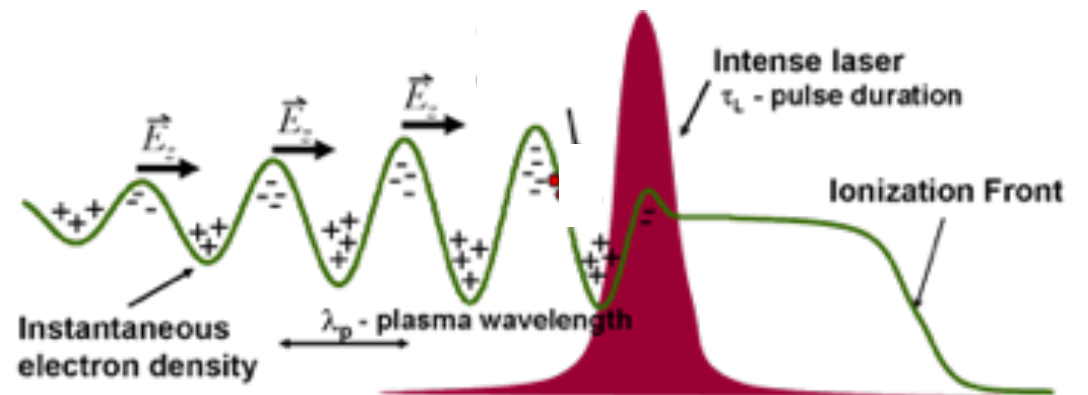
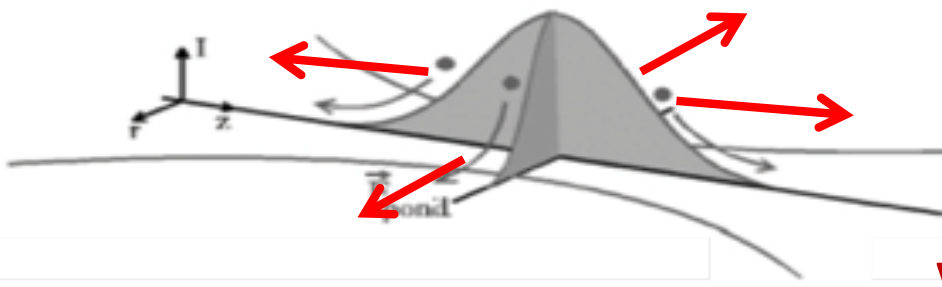


ALPe — étape 2/3 : CRÉATION DU CHAMP DE SILLAGE



**force effective:
force pondéromotrice**

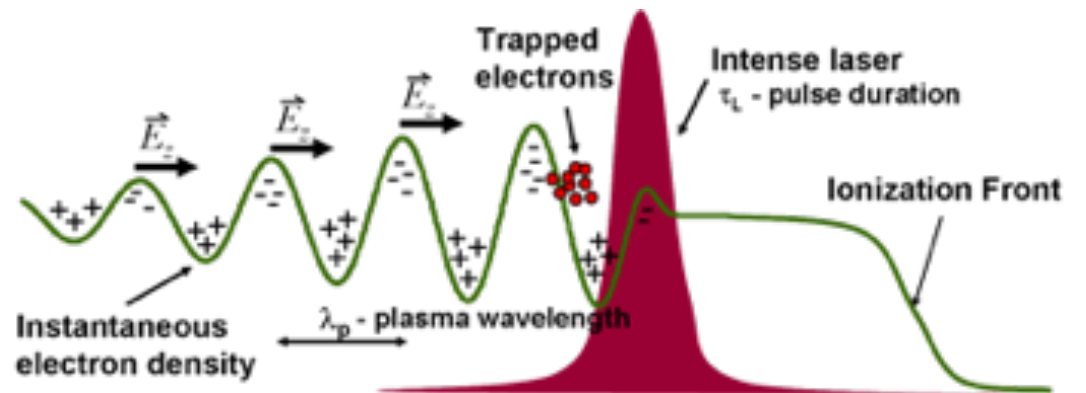
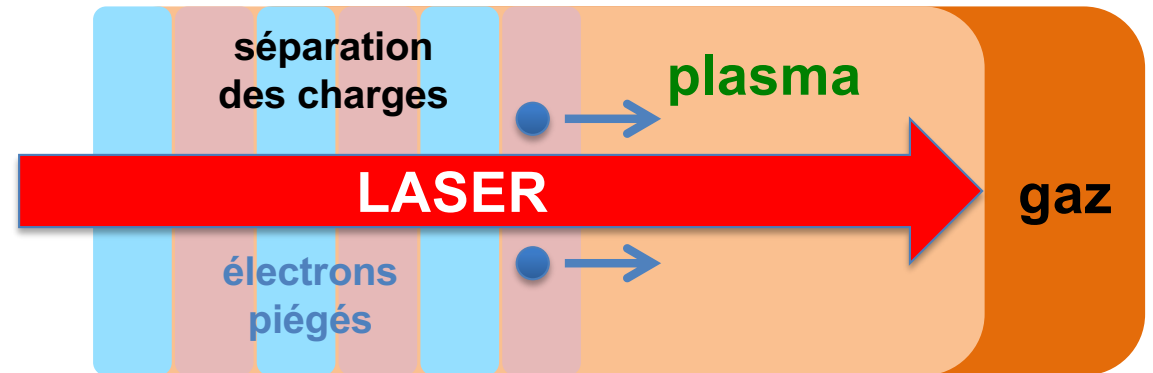
b) Ponderomotive force



$v_{pH} (\text{onde}) = v_G (\text{laser}) \Rightarrow \text{onde relativiste}$

ALPe — étape 3/3 : Piégeage et accélération

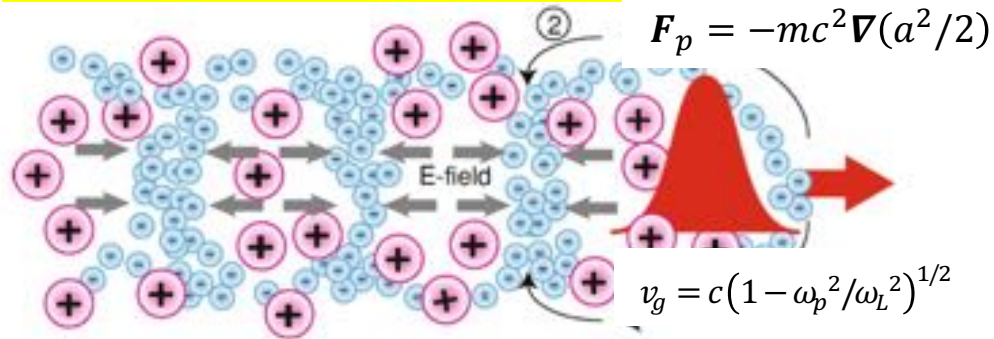
- Piégeage d'électrons du plasma ou d'électrons injectés (source ext.)
- Non-adapté pour l'accélération de particules de $v \ll c$



Plasma wave driven by strong electric fields (1979,1985)

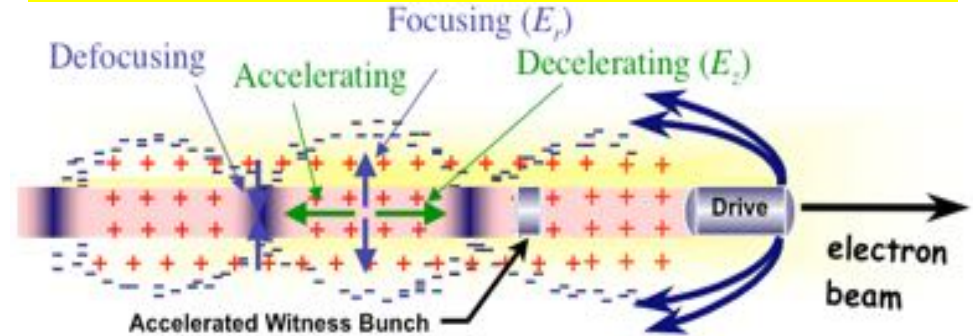
laser field (vector potential a)

T. Tajima & J.M. Dawson, *Phys. Rev. Letter* 43, 267 (1979)



particle beam field

P. Chen & J.M. Dawson, *AIP Conf Proc* 130, 201 (1985)



1-D linear theory: plasma wave = forced electron density oscillation

1-D linear approximation $a^2 \ll 1$

$$\underbrace{\left(\frac{\partial^2}{\partial \xi^2} + k_p^2 \right)}_{\text{plasma wave}} \frac{\delta n}{n_0} = \underbrace{\nabla^2 \frac{a^2(\xi)}{2}}_{\text{ponderomotive force}} \quad \xi = z - ct$$

“LWFA”

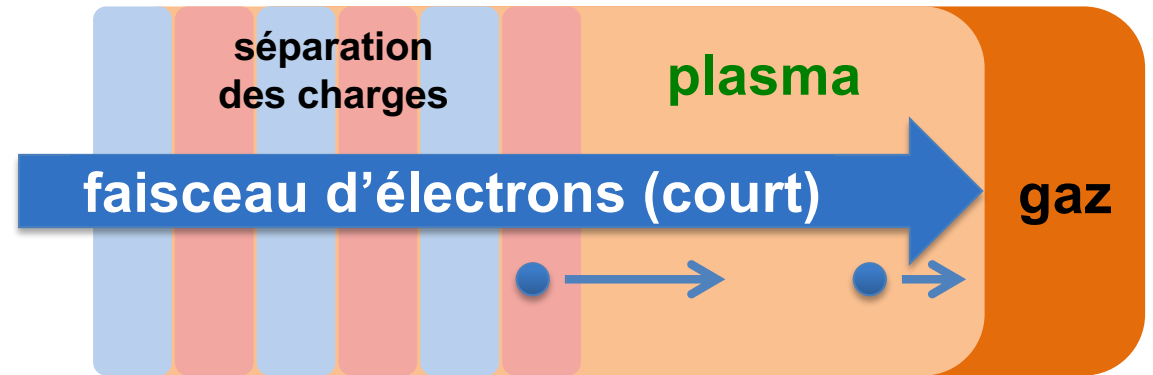
1-D linear approximation $n_b/n_0 \ll 1$

$$\left(\frac{\partial^2}{\partial \xi^2} + k_p^2 \right) \frac{\delta n}{n_0} = \underbrace{-k_p^2 \frac{n_b}{n_0}}_{\text{space charge force}}$$

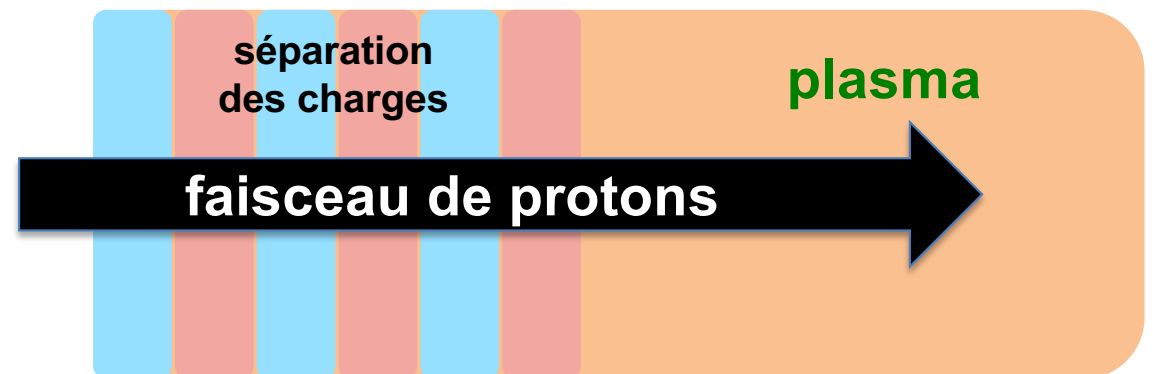
“PWFA”

Création du champ de sillage par d'autres «moteurs» (*drivers*)

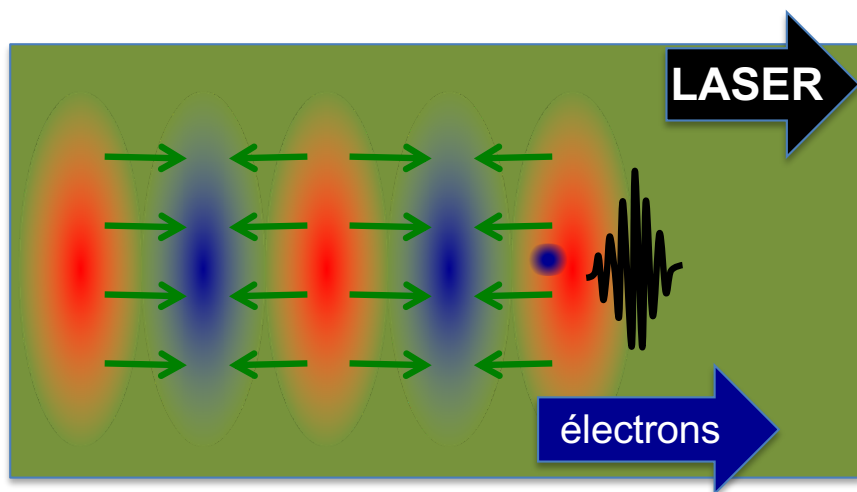
- FACET (SLAC, USA)
- FLASHForward (DESY, D)
- SPARCLab (Frascati, I)



- AWAKE (CERN, CH)



régime non-linéaire v/s régime quasi-linéaire



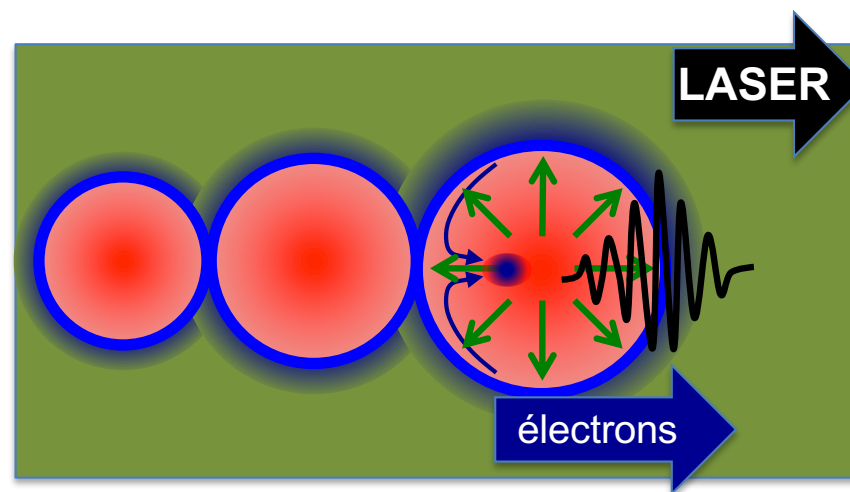
régime quasi-linéaire ($a_0 < 1$)

- onde plasma longitudinale
- injection externe
- peu de auto-focalisation relativiste
- faibles densités, impulsion O(100fs)

τ : >100 fs

I_0 : 10^{16} - 10^{18} Wcm⁻²

n_e : 10^{16} - 10^{17} cm⁻³



régime non-linéaire (ou de la bulle) ($1 < a_0 < \sim 5$)

- champ électrique de sillage **central**
- Forte auto-focalisation
- forte densités, impulsion O(10fs)

τ : 10 fs – 100 fs

I_0 : 10^{18} - 10^{20} Wcm⁻²

n_e : 10^{18} - 10^{19} cm⁻³

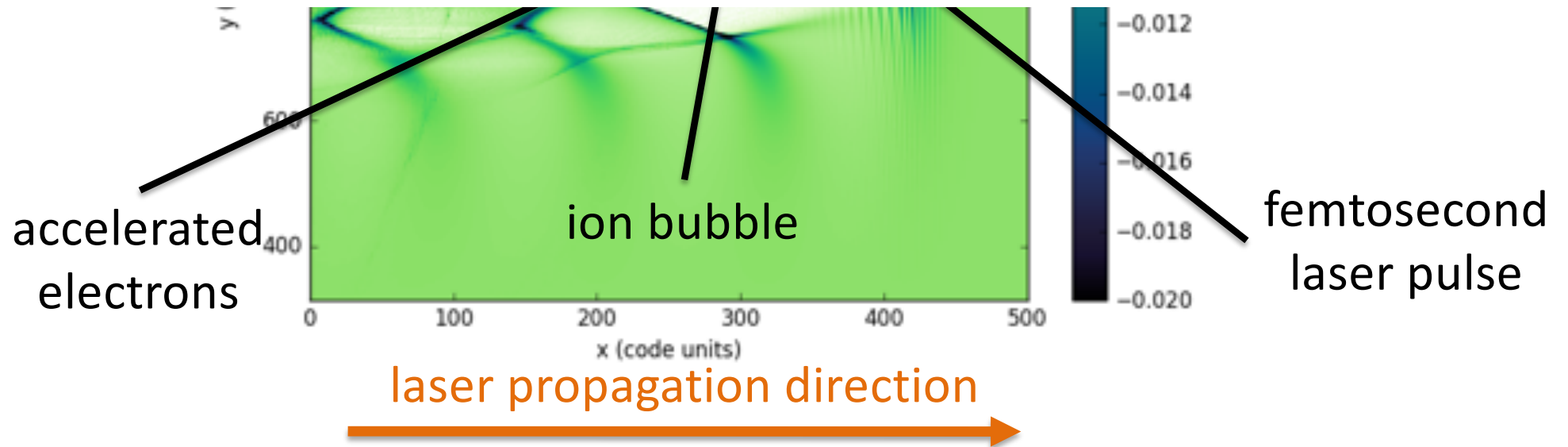
Simulation d'ALPe dans le régime de la bulle (blowout)



J. Derouillat et al., Comput. Phys. Commun. 222, 351-373 (2018)

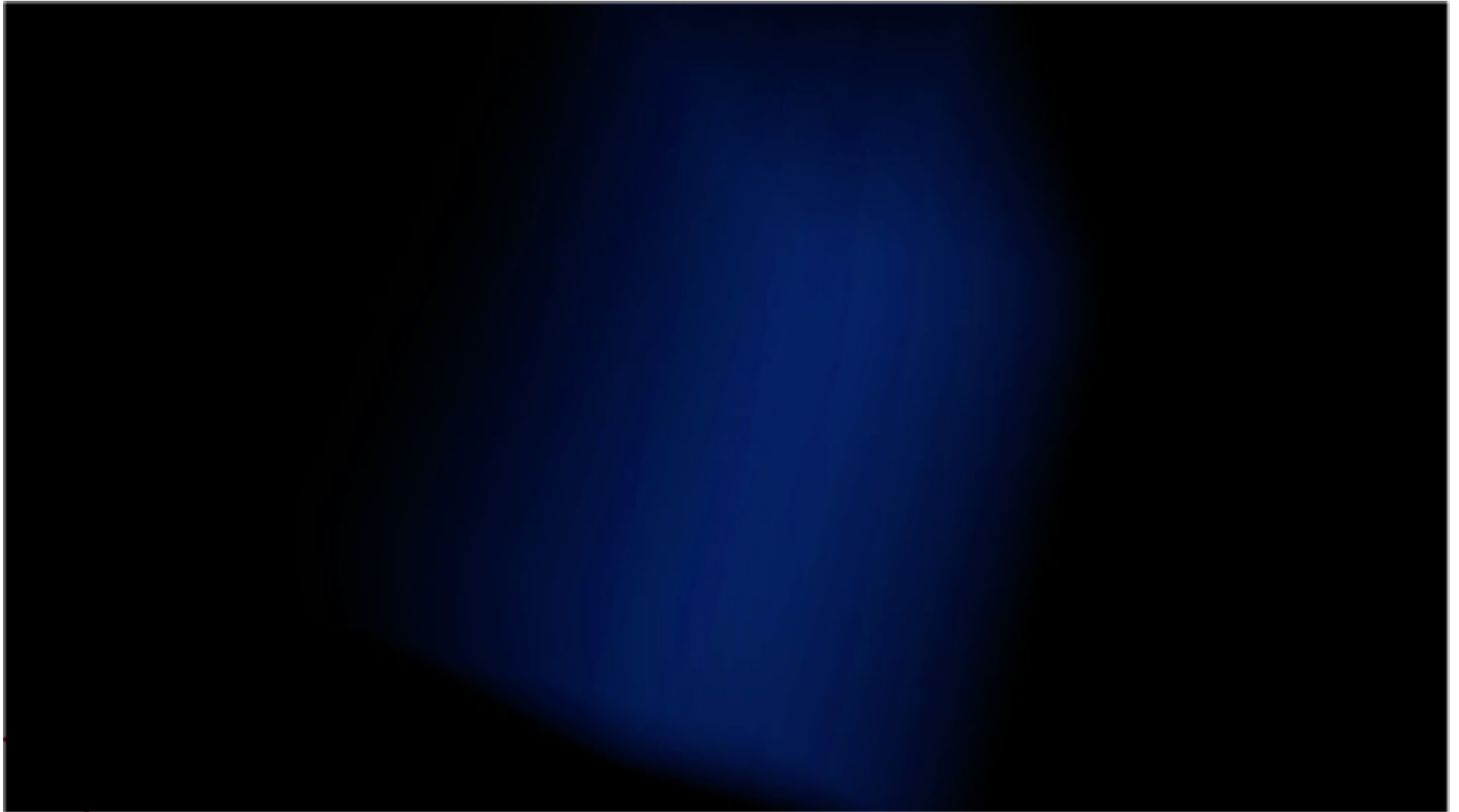


Poster de Guillaume Bouchard: jeudi

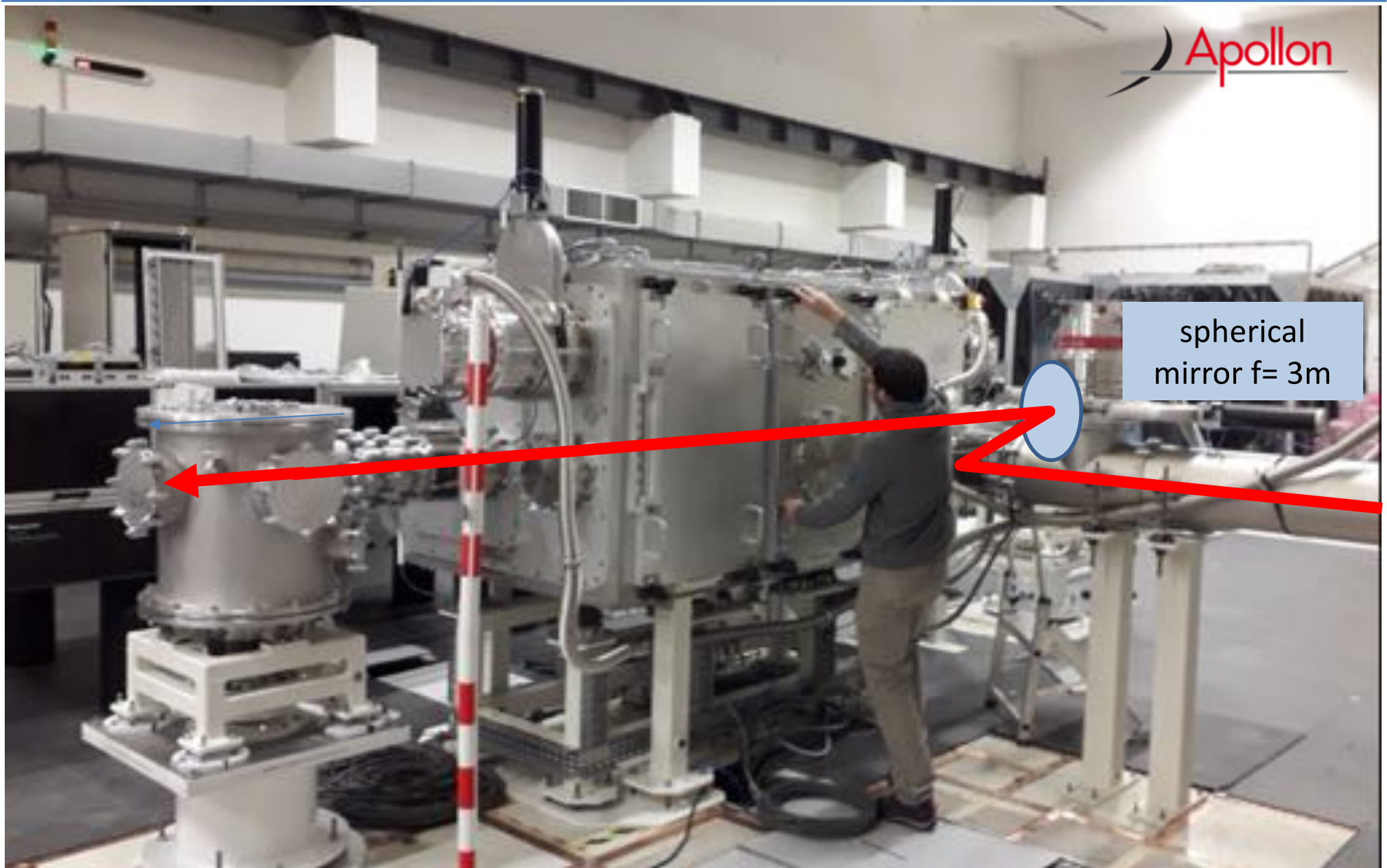


3D pic simulation d'ALPe dans le régime de la bulle (blowout)

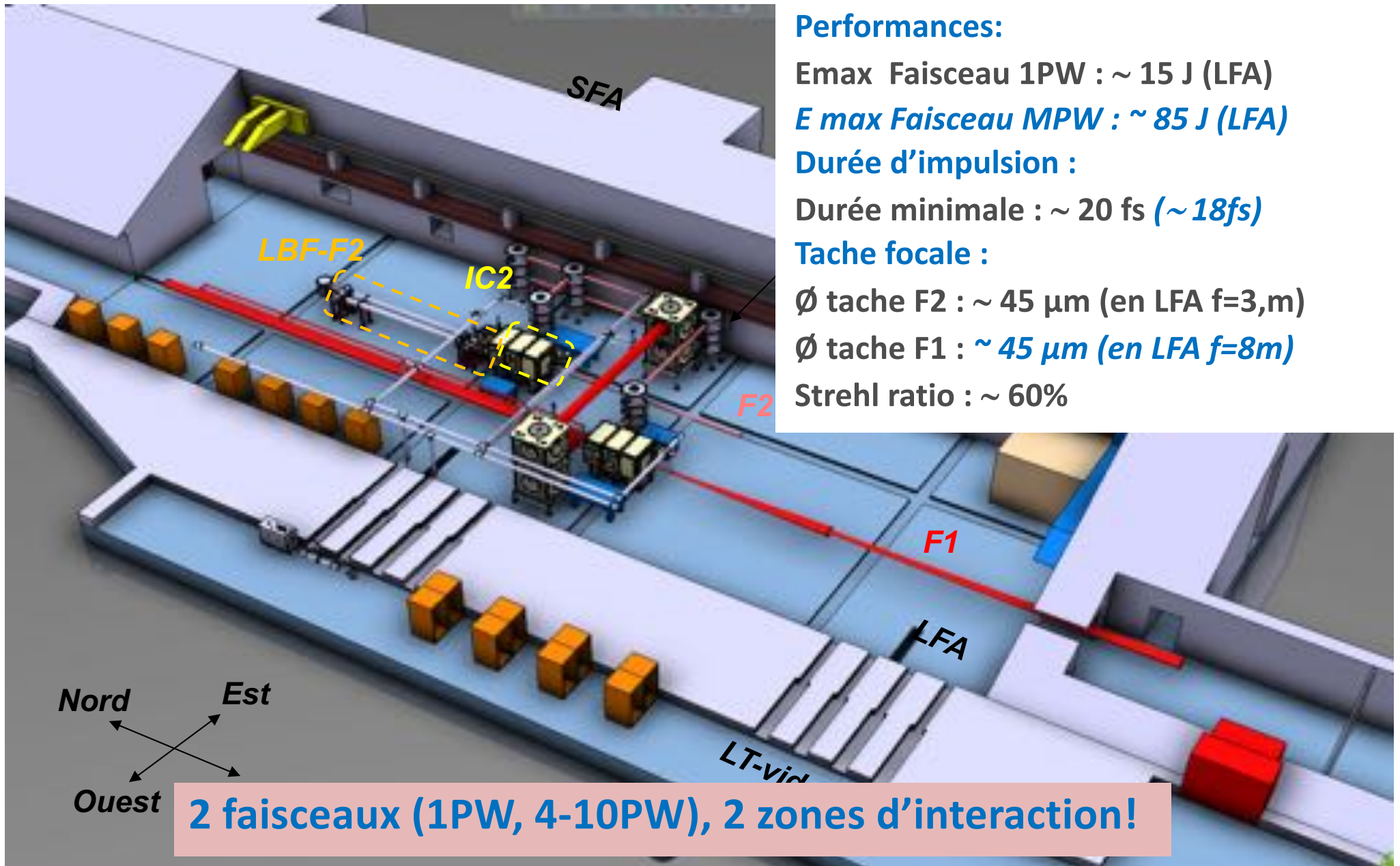
https://www.youtube.com/watch?v=-LX_yT29nAU



Expériences d'accélération laser plasma d'électrons: un exemple



APOLLON laser: Long Focal Area (LFA) electrons et gammas



Performances:

Emax Faisceau 1PW : ~ 15 J (LFA)

E max Faisceau MPW : ~ 85 J (LFA)

Durée d'impulsion :

Durée minimale : ~ 20 fs (*~ 18fs*)

Tache focale :

Ø tache F2 : ~ 45 μm (en LFA $f=3\text{m}$)

Ø tache F1 : ~ 45 μm (*en LFA $f=8\text{m}$*)

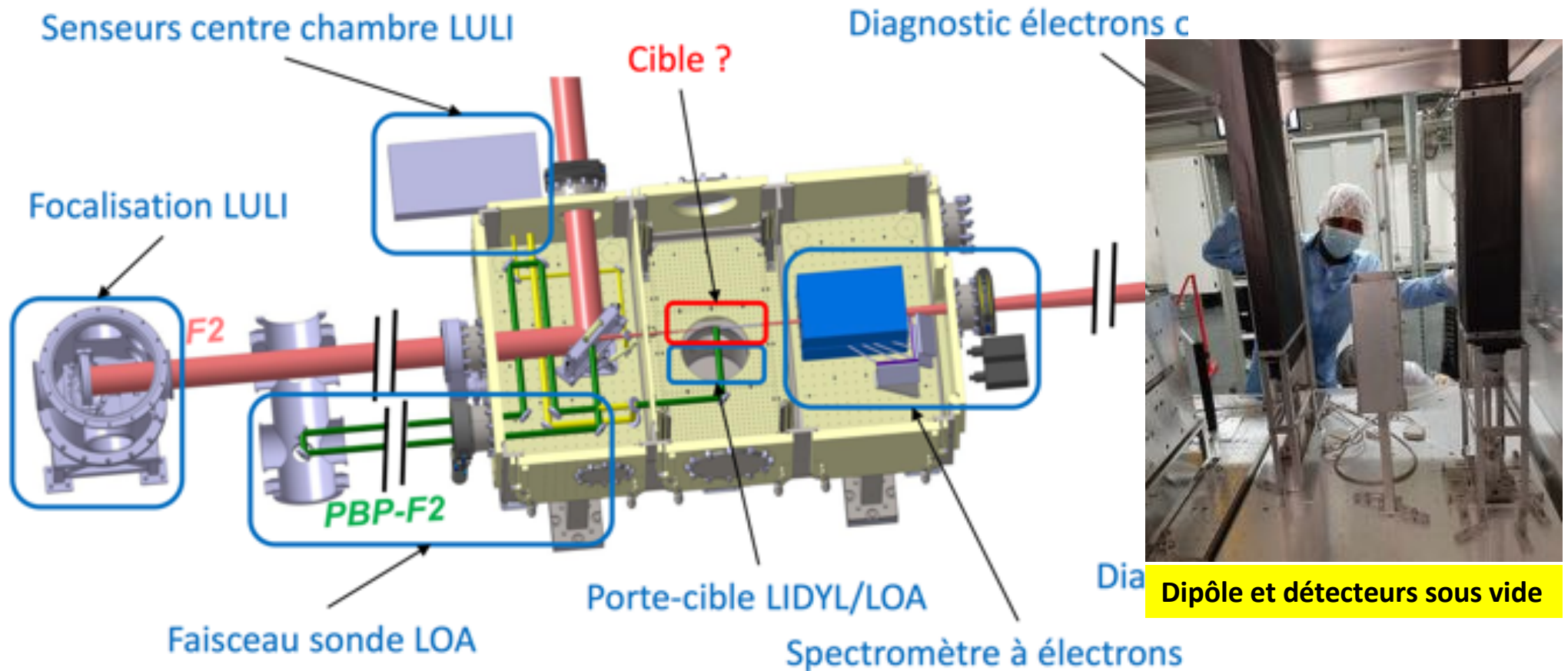
Strehl ratio : ~ 60%

2 faisceaux (1PW, 4-10PW), 2 zones d'interaction!

1ère campagne *commissioning* sur APOLLON Nov 2020

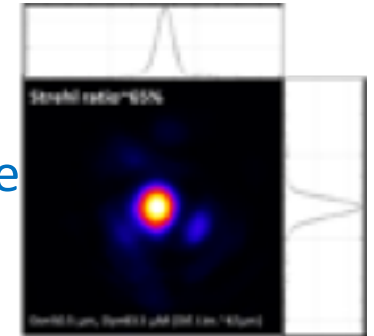


- LLR-LOA-LIDYL-LULI
- Laser: Focale = 3m (F/20) , $E < 12\text{J}$, 22fs,
- Plasma: gaz jet 5mm et 10mm He+ 2%N₂



1ère campagne sur APOLLON en LFA: Observations

- ~800 tirs à 1 par minute (>50% at 12J sur cible) (5 jours utiles)
- Laser: Montée progressive de 6 à 12J, 22 fs, « Strehl » ~60% sur cible
- Observation d'électrons accélérés en régime NL presque immédiat!
Sur détecteur large bande (air), et basse et haute E (vide)
- ΔE large, E fluctuant, angle du faisceau, oscillations
- Exemple de spectre sur le dét. sous vide. écran YAG haute E (0.5-1.5GeV):
~950MeV sur <10mm (fréquemment)



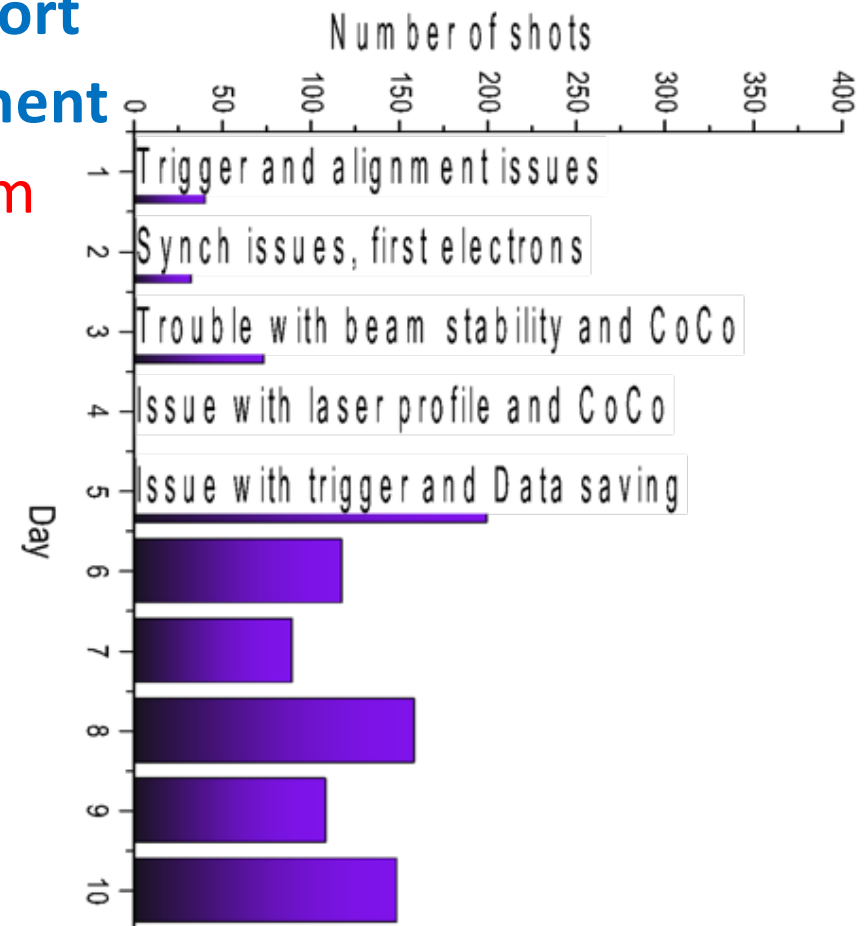
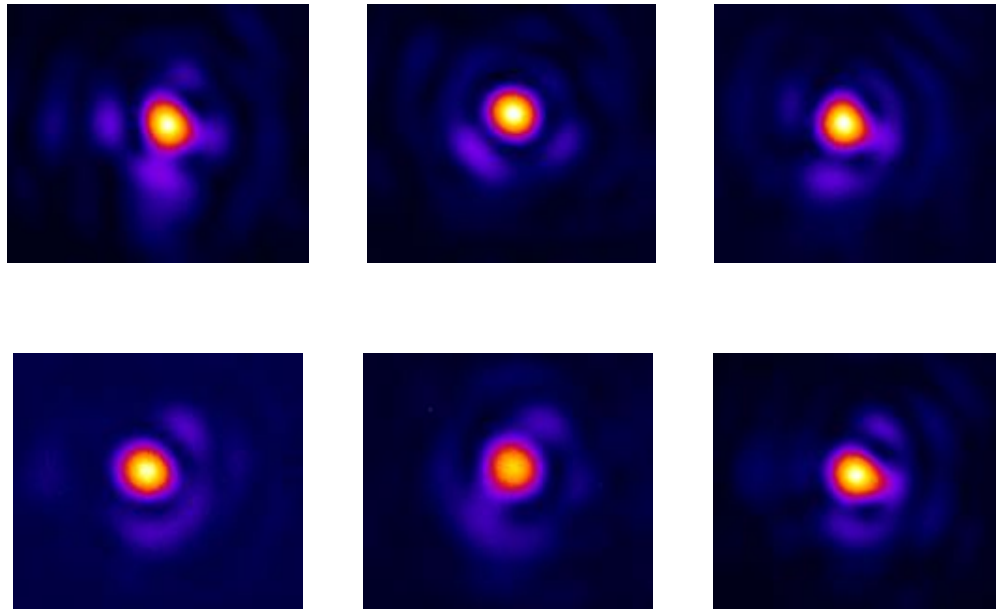
Laser spot on target



- Identification et résolution de nombreux problèmes techniques: alignement, synchronisation, protection EMP, motorisation, DAQ et ControleComm, cohabitation, modifications “à la volée”, radioprotection, diagnostics laser tir à tir

2ème campagne *commissioning* sur APOLLON Avril 2021

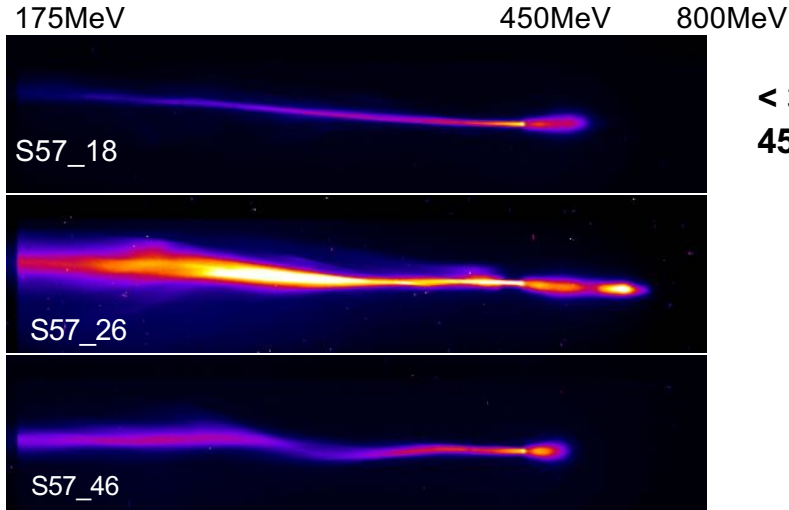
- LPGP-LIDYL-LLR-IJCLAB-LULI
- Laser: Focale = 3m (F/20) , E4.5J, ~22fs,
- Plasma: cellule de gaz 2-20mm He+2%N₂
- **Aimant spectrometre d'électron plus fort**
- **E_{LASER} ON TARGET** monitoré régulièrement
- **Challenge: injecter laser dans Ø 400 µm**



2ème APOLLON e⁻Campaign preliminary results (analysis on going)

Electron spectra observed in detection windows:

26/04 Spectra in 6mm long gas cell

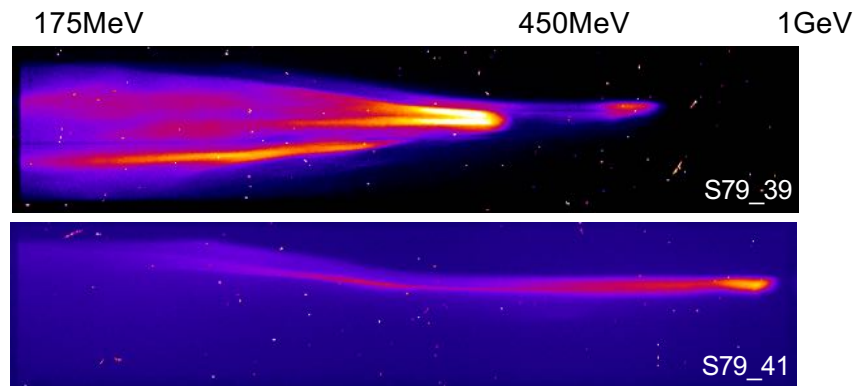


- 175 MeV – 750MeV (LANEX out vac)
- 450 MeV – 1.6 GeV (YAG in vac.)

< 3 mrad at
450 MeV

Observed energy range and distribution in agreement with predictions, from simulations performed with focal spot measured in Nov. 2020 as input

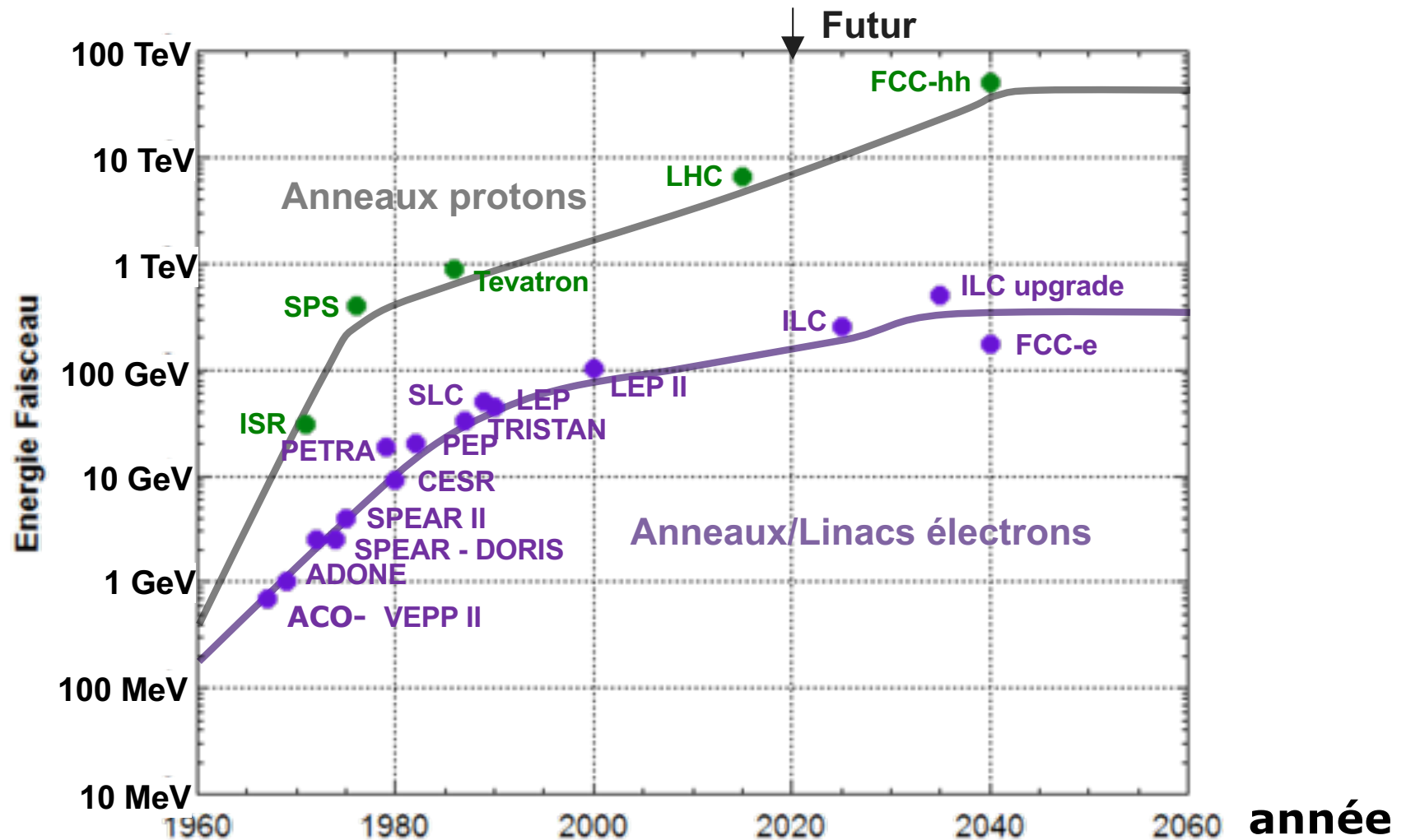
30/04 Spectra in 13 mm long gas cell



Larger shot to shot instability on the 30th of April, link to measured focal spot quality will be studied in future simulations

Voir aussi: Présentation de Gilles Maynard

Motivation: Evolution de l'énergie c.m. des collisionneurs e^+/e^- et p/p



- croissance en énergie → machines de plus en plus grandes
- longueur des LINACs déterminée par le gradient accélérateur

Energie d'un accélérateur linéaire

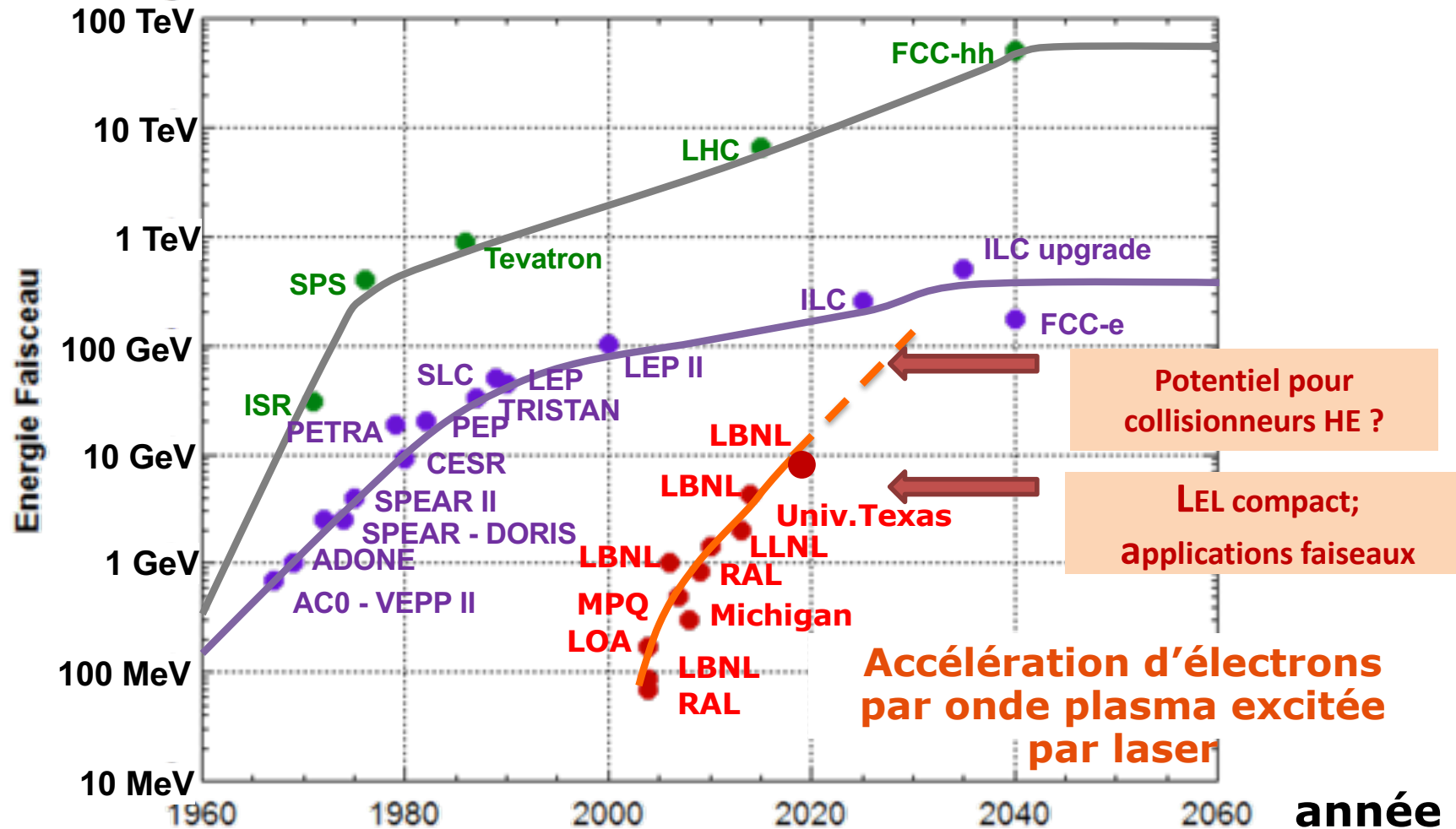
$$W = q \times E \times L$$

↑
↑
↑
↑

énergie finale
charge de la particule
champ électrique accélérateur
longueur d'accélération

augmenter W à L constant: **augmenter E**
diminuer L à W constant: **augmenter E**

Evolution des énergies obtenues en accélération laser-plasma

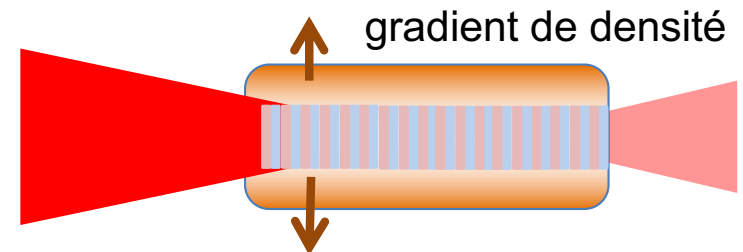
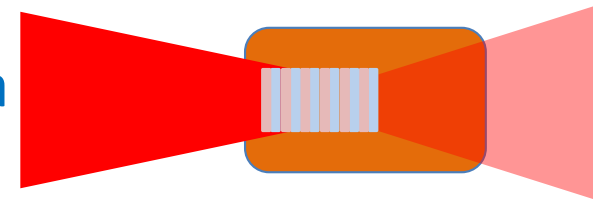
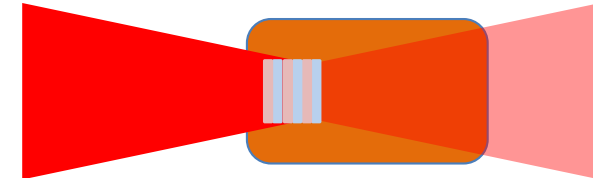


- gradients en ALP 10 à 1000 fois supérieurs aux LINAC RF
- évolution des énergies maximales plus rapide

$$W = q \times E \times L$$

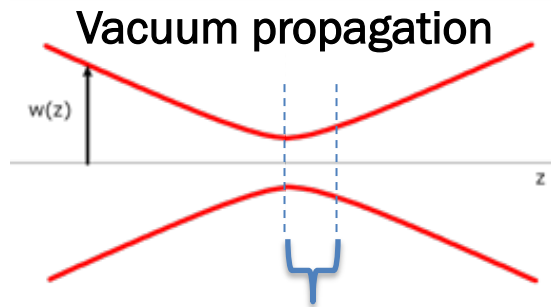
La longueur d'accélération : guidage du laser

- laser focalisé diverge après le foyer après quelques mm ! -> **limitant!**
- auto-focalisation relativiste du laser dans un plasma augmente la longueur (et aide à l'autoinjection)
- guidage par modulation transversale de n_e
par exemple : décharge électrique dans un capillaire, éventuellement assisté par chauffage laser



Guidage du laser dans un canal plasma

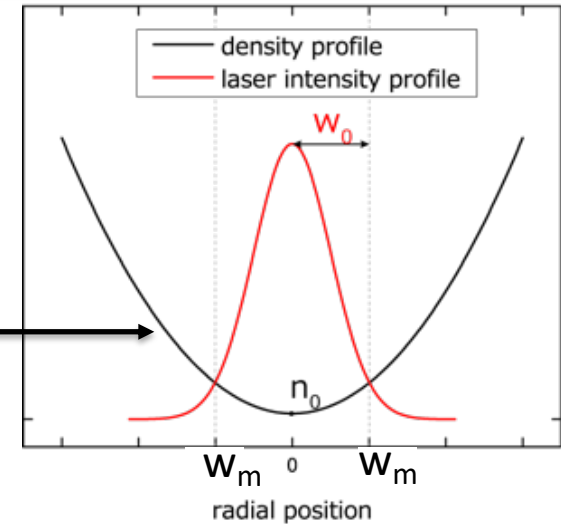
Waveguide can mitigate diffraction to increase acceleration length and beam energy



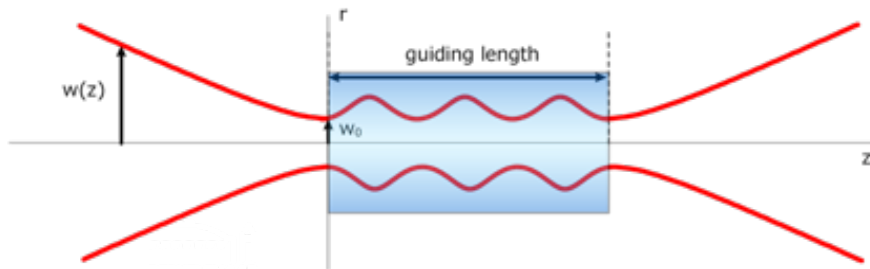
BELLA $Z_R \approx 1\text{cm}$
Guiding over 10s cm required to maximize beam energy

Density profile for guiding

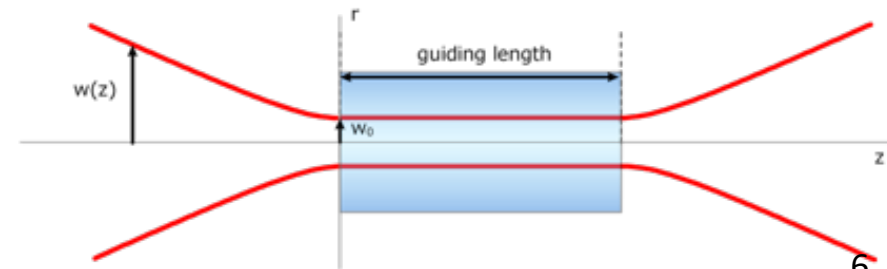
$$n(r) = n_0 + \frac{r^2}{\pi r_e W_m^4}$$



Mismatched guiding ($w_m > w_0$)



Matched guiding ($w_m = w_0$)



Slide courtesy of A.Gonsalves

Accélération laser-plasma d'électrons : limitations

- **Diffraction** du laser: longueur de Rayleigh

- remède: (auto-focalisation), guidage par capillaire, décharge

- **Déphasage** du paquet et de l'onde plasma ($\gamma_{el.} > \gamma_{onde}$)

$$L_{max} \propto n_0^{-3/2}$$

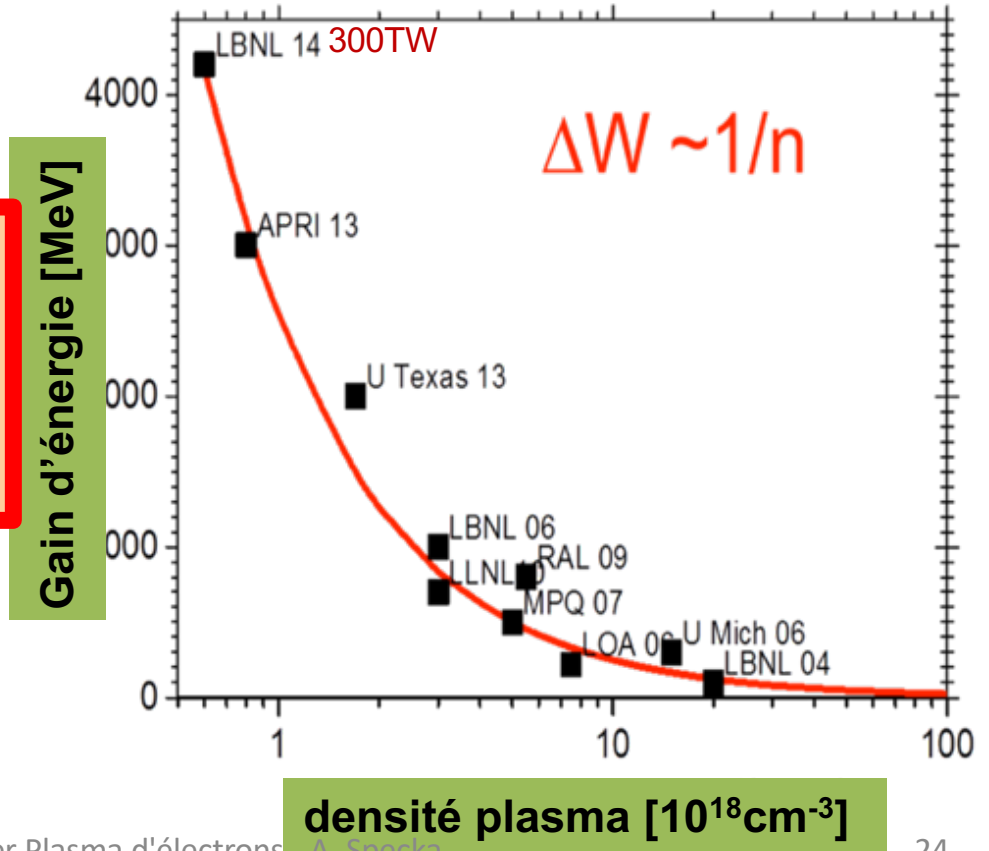
- remède : rampe de densité d'électrons décroissante, multi-étage

- **Epuisement** du laser (*depletion*)

$$L_{deplete} \propto \lambda_p^3 / \lambda_L^2 \propto n_0^{-3/2}$$

- **gradient acc.:** $G \sim E_0 = mc\omega_p / e \propto \sqrt{n_0}$
- **gain d'énergie:** $W = G \times L_{acc} \propto 1/n_0$
- **puissance crête laser:** $P_{laser} \propto 1/n_0$

augmenter le gain d'énergie (par étage)
=> baisser la densité plasma
et augmenter la puissance laser



Augmentation de l'énergie et de la charge par guidage du laser

Increasing laser power and reducing plasma density has increased charge and maximum energy to 8GeV

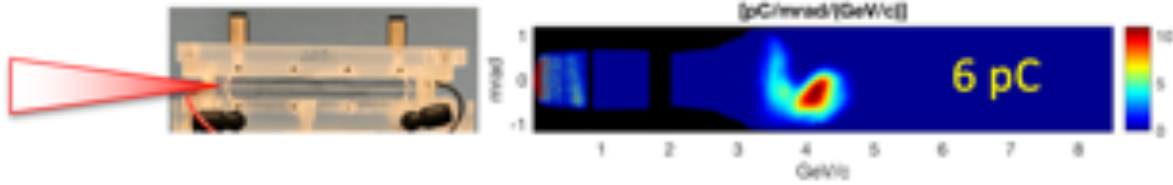
— TREX: W. P. Leemans et al., *Nat. Phys.* (2006)

3 cm; 40 TW; $\sim 5 \times 10^{18} \text{ cm}^{-3}$



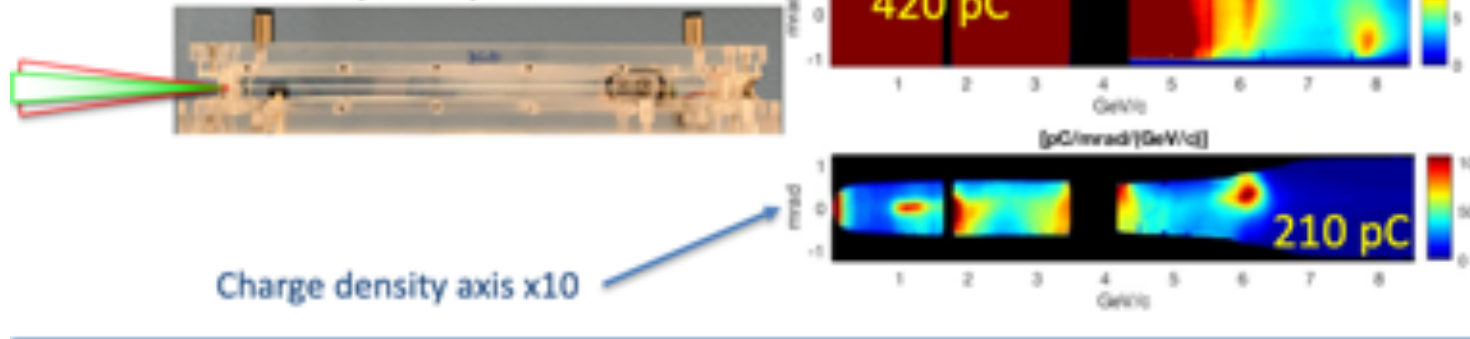
— BELLA: W. P. Leemans et al., *PRL* (2014)

9 cm
300 TW
 $\sim 0.7 \times 10^{18} \text{ cm}^{-3}$

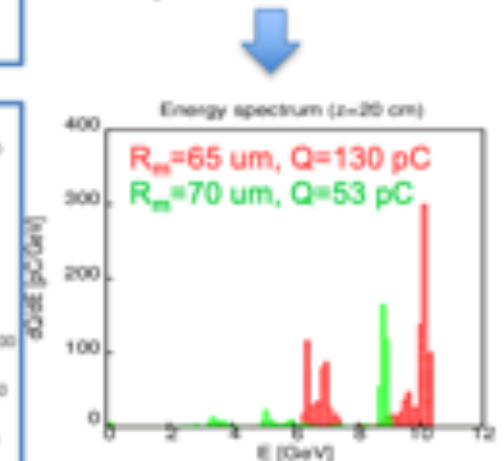


— BELLA with heater: Gonsalves et al., *PRL* (2019)

20 cm; 850 TW; $0.27 \times 10^{18} \text{ cm}^{-3}$



10GeV simulation @
 $n_0 = 0.22 \times 10^{18} \text{ cm}^{-3}$



18

Gonsalves A. et al., *Phys. Rev. Lett.* 122, 084801 (2019)

Slide courtesy of A.Gonsalves

Accélération laser-plasma d'électrons : limitations

- **Diffraction** du laser: longueur de Rayleigh

- remède: (auto-focalisation), guidage par capillaire, décharge

- **Déphasage** du paquet et de l'onde plasma ($\gamma_{el.} > \gamma_{onde}$)

$$L_{max} \propto n_0^{-3/2}$$

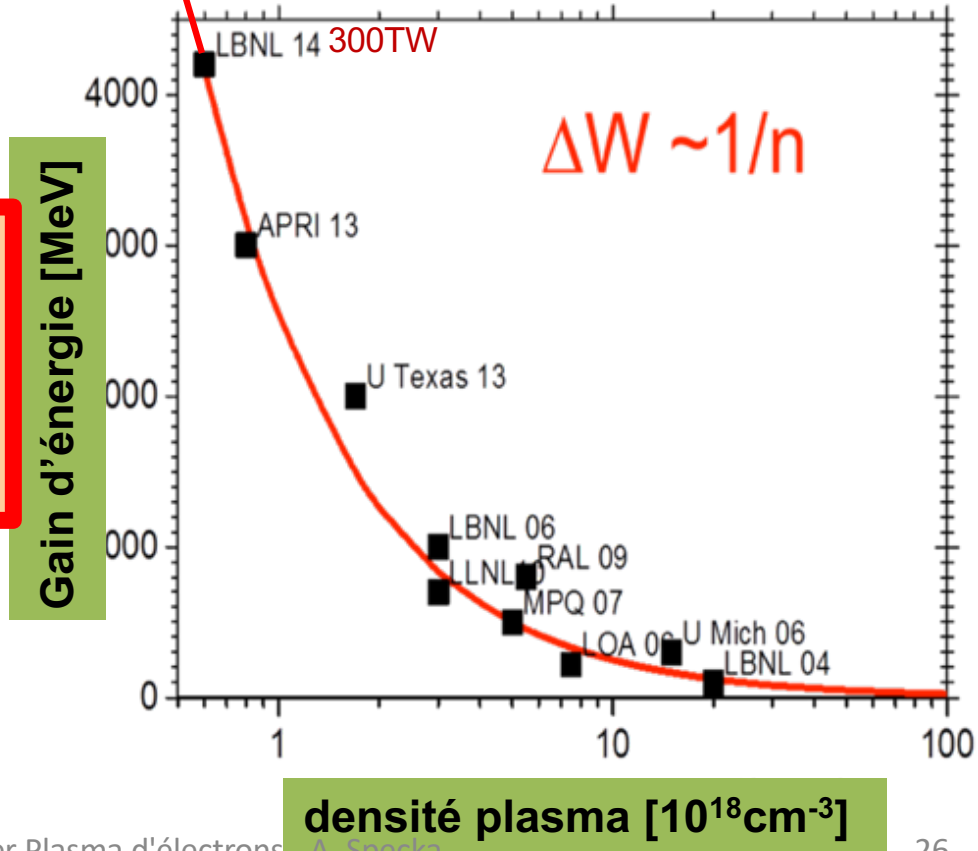
- remède : rampe de densité d'électrons décroissante, multi-étage

- **Epuisement** du laser (*depletion*)

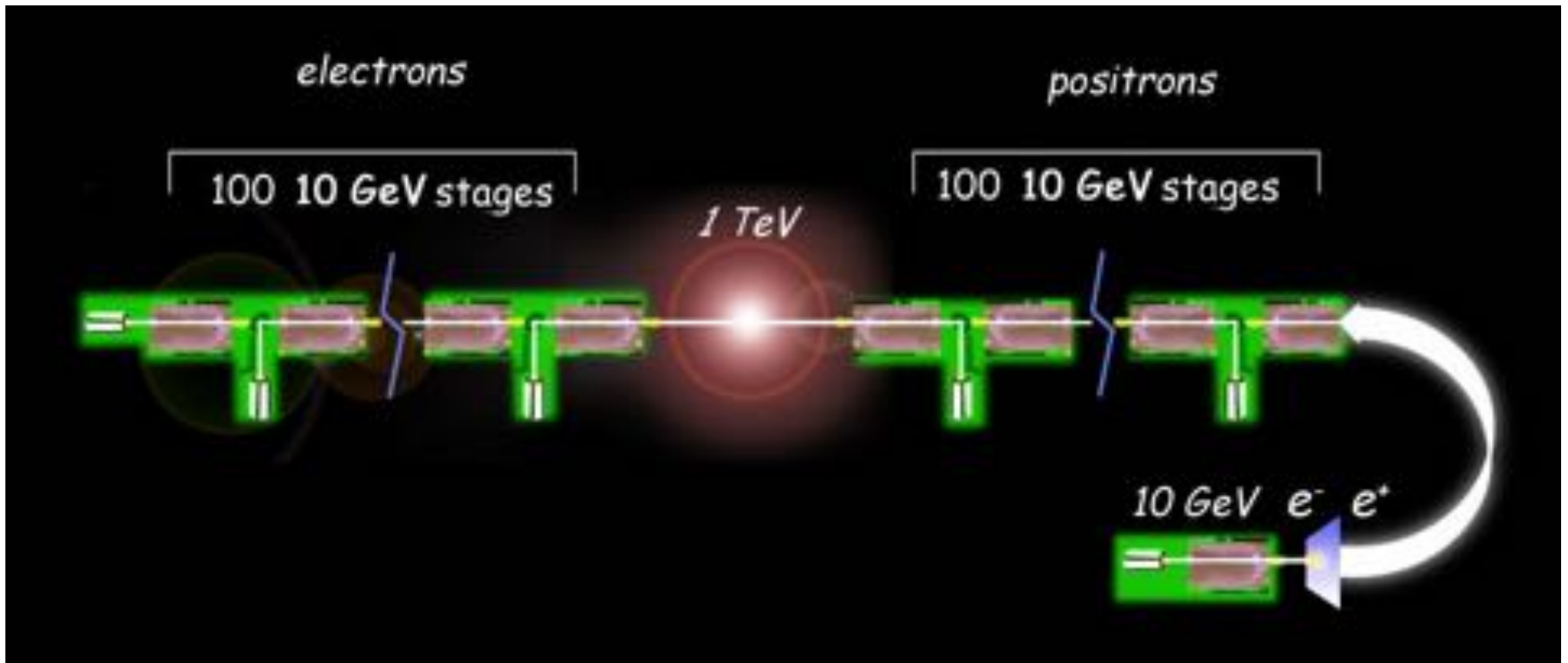
$$L_{deplete} \propto \lambda_p^3 / \lambda_L^2 \propto n_0^{-3/2}$$

- **gradient acc.:** $G \sim E_0 = mc\omega_p / e \propto \sqrt{n_0}$
- **gain d'énergie:** $W = G \times L_{acc} \propto 1/n_0$
- **puissance crête laser:** $P_{laser} \propto 1/n_0$

augmenter le gain d'énergie (par étage)
=> baisser la densité plasma
et augmenter la puissance laser



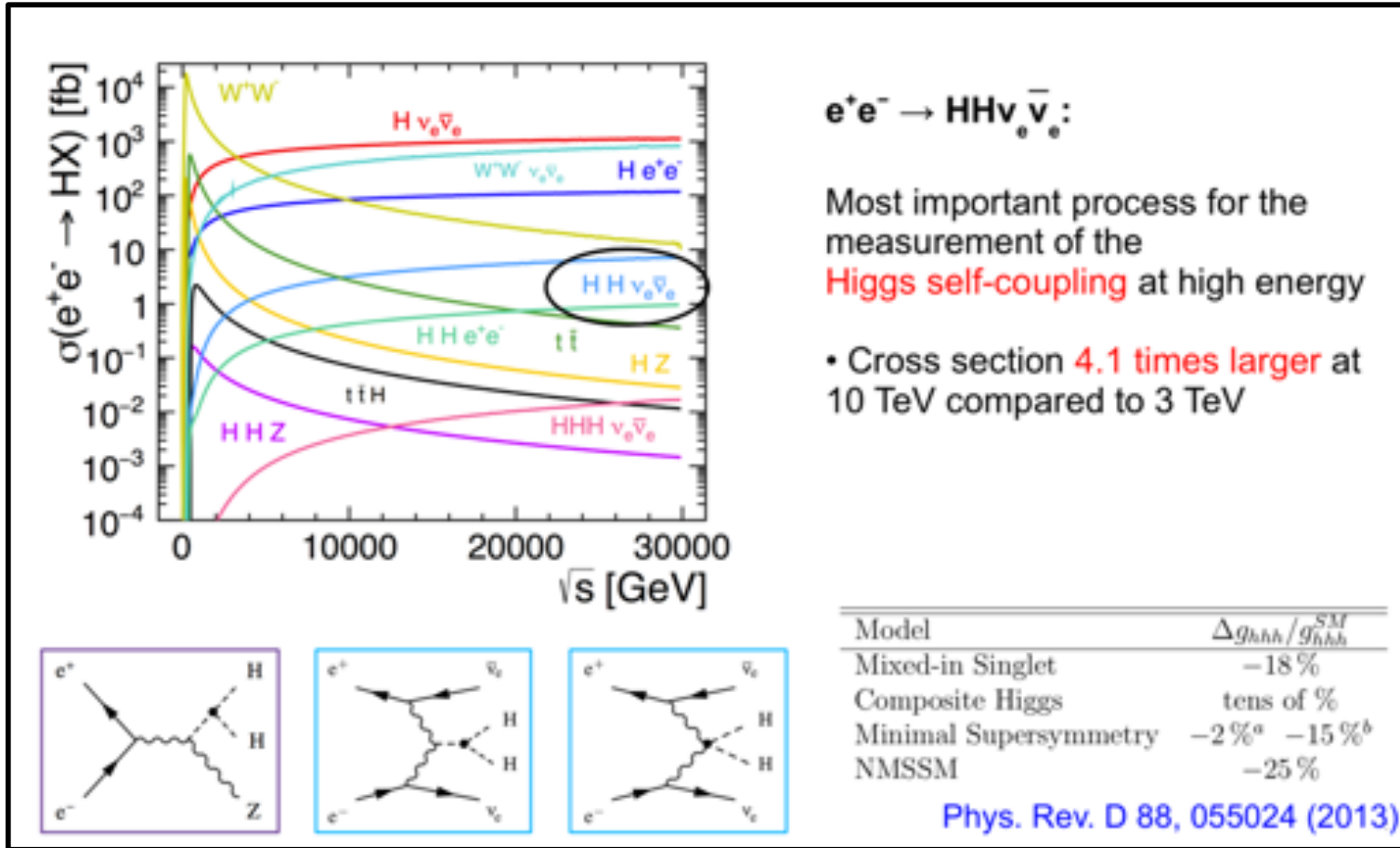
Rêves d'un collisionneur base sur les accélérateurs plasma



<https://www2.lbl.gov/publicinfo/newscenter/features/2008/apr/af-bella.html>

- LBNL LPA collider “strawman design” (2008)
- Existe pour les autres “moteurs” (faisceaux electrons, protons)

Enjeu de physique des futurs collisionneurs: 1 exemple (sur N)



“So what we really want is a proton collider at least at 100 TeV (the more the better), and lepton colliders towards 10 TeV (also here more is better) In all cases luminosities at least around $\sim 10^{35} \text{ cm}^{-2} \text{ s}^{-1}$ are needed.”

(S.Stapnes)

La deuxième figure de mérite d'un collisionneur

- Énergie dans le centre de masse (invariant de Lorentz) : $\sqrt{s}=2xE_F$
- Luminosité (densité de flux de particules pour 2 faisceaux)
- La luminosité détermine le nombre d'événements produits:

$$N = \sigma \times \int L dt \quad \sigma: \text{section efficace}$$

- $N = 1 \text{ femto-barn} \times 10^{35} \text{ cm}^{-2}\text{s}^{-1} \times 10^7 \text{ s} = 1000$

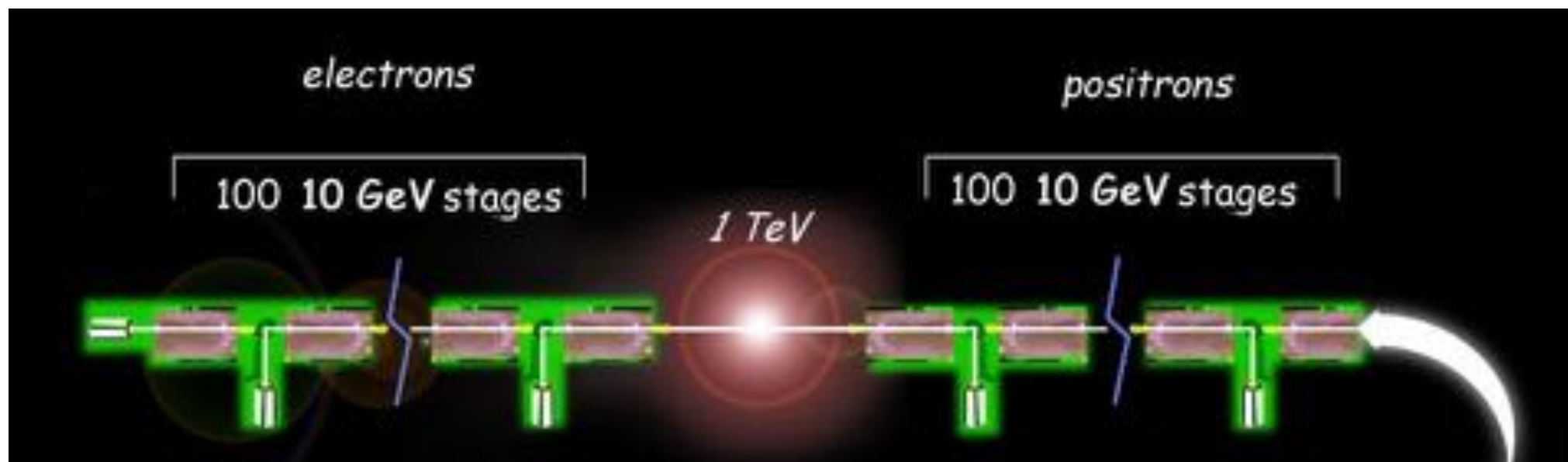
injecteur; efficacité

driver; heat-load

- $$L = \frac{N(e^+) \times N(e^-) \times \text{taux de répétition}}{(\text{taille faisceau en } x) \times (\text{taille faisceau en } y)}$$

transverse and longitudinal beam quality

Rêves d'un collisionneur base sur les accélérateurs plasma



- **Injector:** produce high charge, high-quality, relativistic e- bunch
- **Many stages:** preserve high charge, high-quality, relativistic e- bunch
- **Final focus** (beam delivery): focus both beams tightly
- **Positrons**, spin polarization, driver (laser) in- and out- coupling, energy efficiency, energy dissipation in plasma

State of the art of laser wakefield acceleration experiments (2020)

Property	State of the art value [*]	Laser driver	Reference	Remarks
Energy	3 GeV ($\pm 15\%$, $\sim 50\text{pC}$) 7.8 GeV ($\pm 5\%$, $\sim 5\text{pC}$)	26J/30fs/30um 31J/30fs/60um	Kim (2017) - GIST Gonsalvez (2019) - LBNL	In single stage
Energy spread	1% (@ 10pC, 200MeV) 5-30% (@50-3GeV) 5%-100% (@ 400MeV, 80pC) 0.4%-20% (@ 300-350MeV, $\sim 10\text{pC}$)	1.1J/35fs/20um 1-5J/20- 50fs/15-30um 2-5J/30fs/30um 2-3J/33fs/32um	Rechatin (2009) - LOA Many references (2010-2018) Mirzaie (2015) Shangai MOE Wang(2016) Shangai MOE	Still one order from FEL application requiring 0.1%
Normalized transverse emittance	$\sim 0.1 \pi \text{ mm.mrad}$ (@250MeV, $\sim 15\text{pc}$) $\sim 0.01 \pi \text{ mm.mrad}$ (@200MeV-600MeV)	1.5J/30fs/20um	Weingartner (2012) - MPQ Qin (2018) - Shangai MOE	Measurement at the resolution limit
Bunch length	5-10 um	1.1J/35fs/20um	Lundh (2011) - LOA Kaluzza(2014) - Jena Heigholt(2015) - UMu	Measurement at the resolution limit
Charge	$\sim 300 \text{ pC}$ (@ 300-350MeV, 12-17%) >1nC (@ 330 MeV >15%-)	2.5J/40fs/20um 10J/40fs/>25um	Couperus (2017) - Jena Götzfried(2020) - LMU	Beam loading
Repeatability	2.4%E, 11%Q (@1Hz, 368MeV, 25pC) 4%-11% E, 23%Q (@1kHz, 2.5MeV, 3pC)	2J/42fs/25um 10mJ/25fs/6um	Maier (2020) - DESY/UHH Rovige (2020) - LOA	
Repetition rate	$\sim 1 \text{ Hz}$ @ >1 GeV $\sim 1 \text{ kHz}$ @ 1-3 MeV	>25J/30fs/>30um $\sim \text{mJ}/ <25\text{fs}$ /6um	Kim (2017) - GIST, Gonzalves (2019) He (2015)- UMi, Salehi(2017) - UMd Guenot (2017) - LOA	Limited by laser

State of the art of the art of laser wakefield acceleration experiments (2020)

Property	State of the art value [*]	Laser driver	Reference
Energy	3 GeV ($\pm 15\%$, $\sim 50\text{pC}$) 7.8 GeV ($\pm 5\%$, $\sim 5\text{pC}$)	26J/30fs/30um 31J/30fs/60um	Kim (2017) - GIST Gonzalves (2019) - UMi, Salehi(2017) - UMi, Guenot (2017) - LOA
Energy spread	1% (@ 10pC, 200MeV) 5-30% (@50-3GeV) 5%-100% (@ 400MeV, 80pC) 0.4%-20% (@ 300-350MeV, $\sim 10\text{pC}$)	1.1J/35fs/20um 1-5J/20-50fs/20um	Maier (2020) - DESY/UHH Rovige (2020) - LOA Shanghai MOE (2010-2018) Shanghai MOE (2010-2018) Shanghai MOE (2010-2018)
Normalized transverse emittance	$\sim 0.1 \pi \text{ mm.mrad}$ (@250MeV, $\sim 10\text{pC}$) $\sim 0.01 \pi \text{ mm.mrad}$ (@200MeV, $\sim 10\text{pC}$)	1.1J/35fs/20um	Weingartner (2012) - MPQ Qin (2018) - Shanghai MOE
Bunch length	5-10 um	1.1J/35fs/20um	Lundh (2011) - LOA Kaluzna(2014) - Jena Heigholt(2015) - UMu
Charge	$\sim 10\text{pC}$ (@250MeV, 12-17%) $\sim 10\text{pC}$ (@200MeV, $>15\%$)	2.5J/40fs/20um 10J/40fs/ $>25\mu\text{m}$	Couperus (2017) - Jena Götzfried(2020) - LMU
Repetition rate	$\sim 1\text{Hz}$ @ 1Hz, 368MeV, 25pC) $\sim 1\text{kHz}$ @ 1kHz, 2.5MeV, 3pC)	2J/42fs/25um 10mJ/25fs/6um	Maier (2020) - DESY/UHH Rovige (2020) - LOA
Repetition rate	$\sim 1\text{ Hz}$ @ $>1\text{ GeV}$ $\sim 1\text{ kHz}$ @ 1-3 MeV	$>25\text{J}/30\text{fs}/>30\mu\text{m}$ $\sim \text{mJ}/ <25\text{fs}/6\mu\text{m}$	Kim (2017) - GIST, Gonzalves (2019) He (2015)- UMi, Salehi(2017) - UMi, Guenot (2017) - LOA

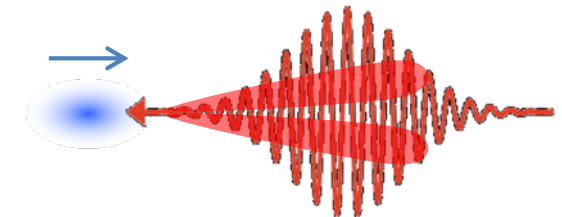
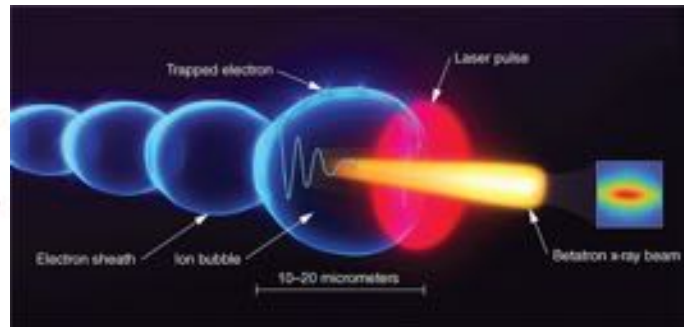
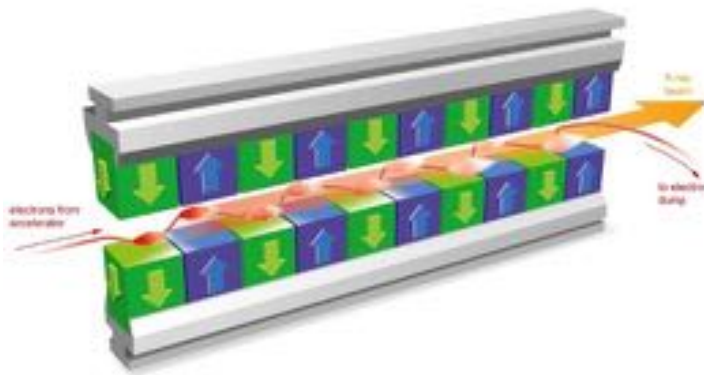
1. Aucune experience réalise toutes ces valeurs au même temps.
2. Qualité de faisceau: contrôle du mécanisme d'injection!

Application : source rayons X cohérente compacte

magnetic undulator

plasma undulator

laser beam



SASE FEL
100's eV - keV

"Betatron" radiation
1 keV - 10's keV

Compton backscatter
10's keV - MeV

M. Fuchs et al, Nature Physics, Vol 5 (2009)

S. Corde et al, Rev. Mod. Phys., Vol 85 (2013)
S. Kneip et al, Nature Physics Vol 6 (2010)

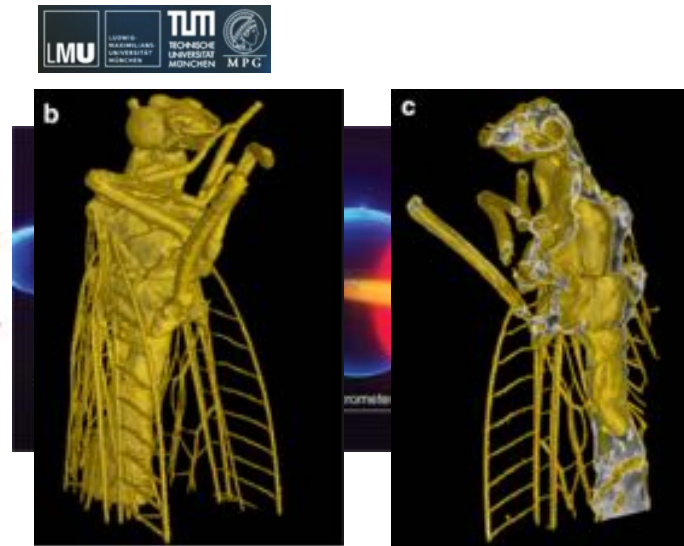
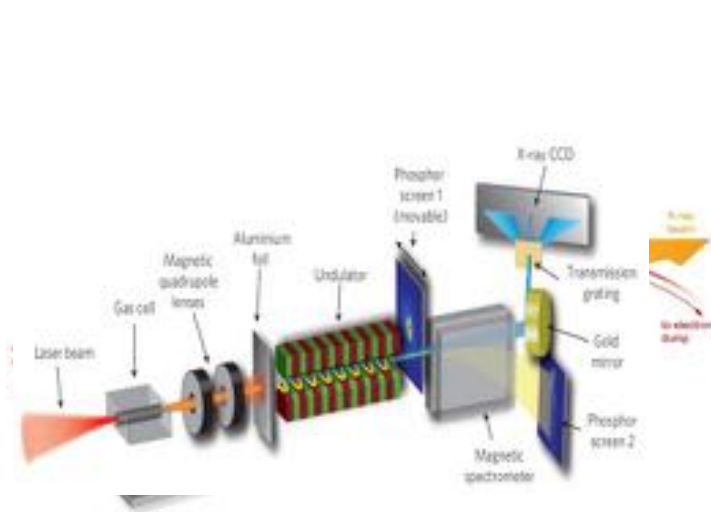
K. Taphuoc, Nature Photonics, 6 (2012)

Application : source rayons X cohérente compacte

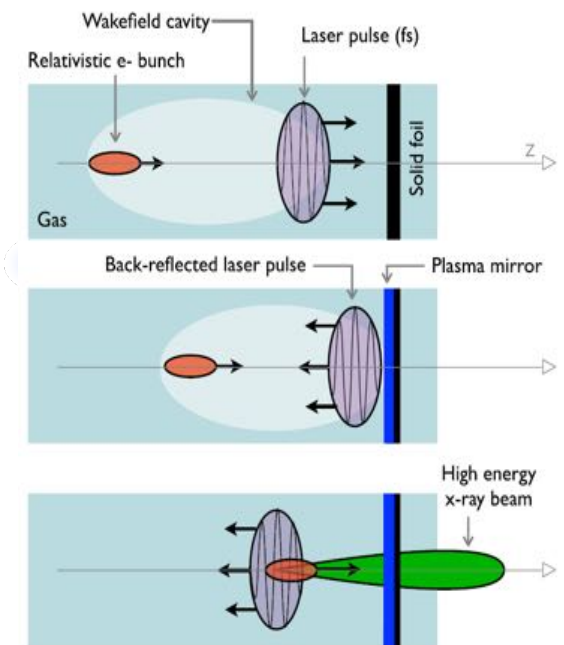
magnetic undulator

plasma undulator

laser beam



J. Wenz et al, Nature Communications 2015



(SASE) FEL
100's eV - keV

"Betatron" radiation
1 keV – 10's keV

Compton backscatter
10's keV - MeV

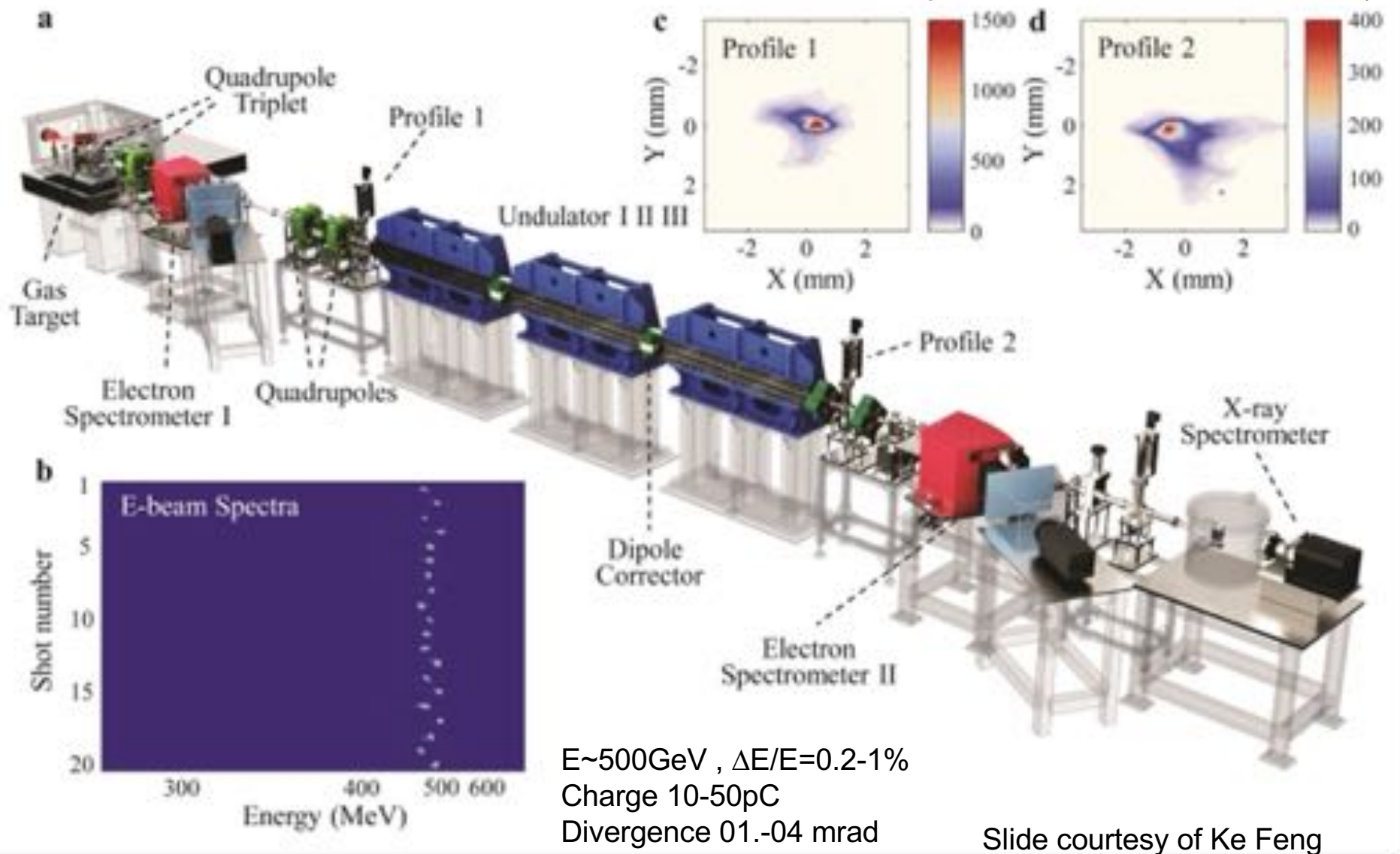
M. Fuchs et al, Nature Physics, Vol 5 (2009)

S. Corde et al, Rev. Mod. Phys., Vol 85 (2013)
S. Kneip et al, Nature Physics Vol 6 (2010)

K. Taphuoc, Nature Photonics, 6 (2012)

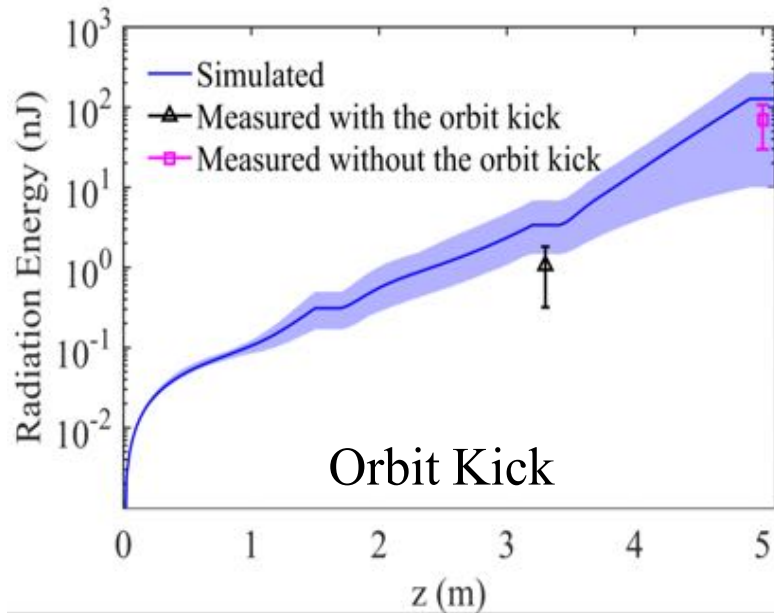
Laser à electron libres (LEL) pompé ALPe (Shanghai)

Wang, W. et al. Nature 595, 516–520 (2021)

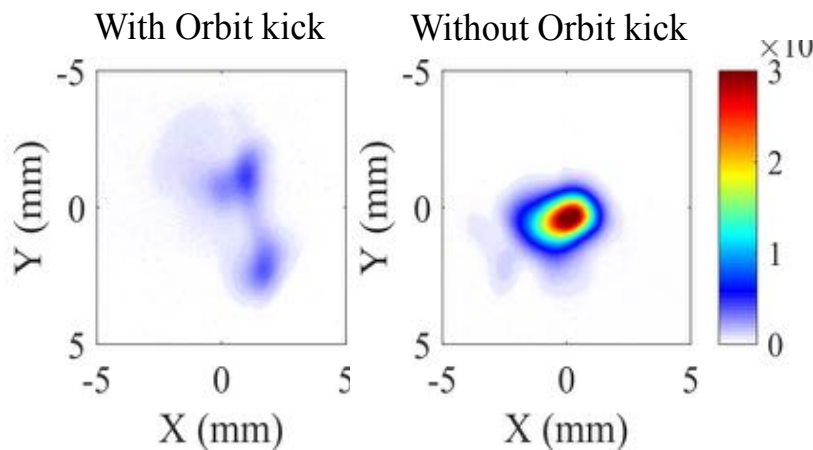
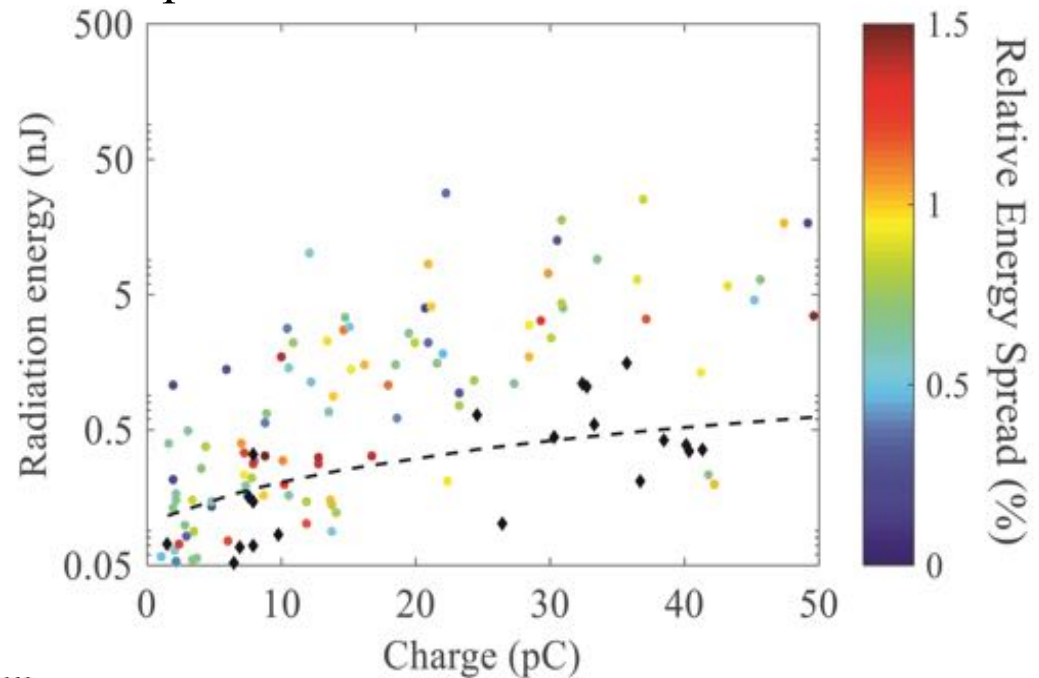


First observation XFEL Lasing (27nm) using a LWFA

Wang, W. et al. *Nature* 595, 516–520 (2021)



Spontaneous emission calibration



Demonstration of exponential gain:

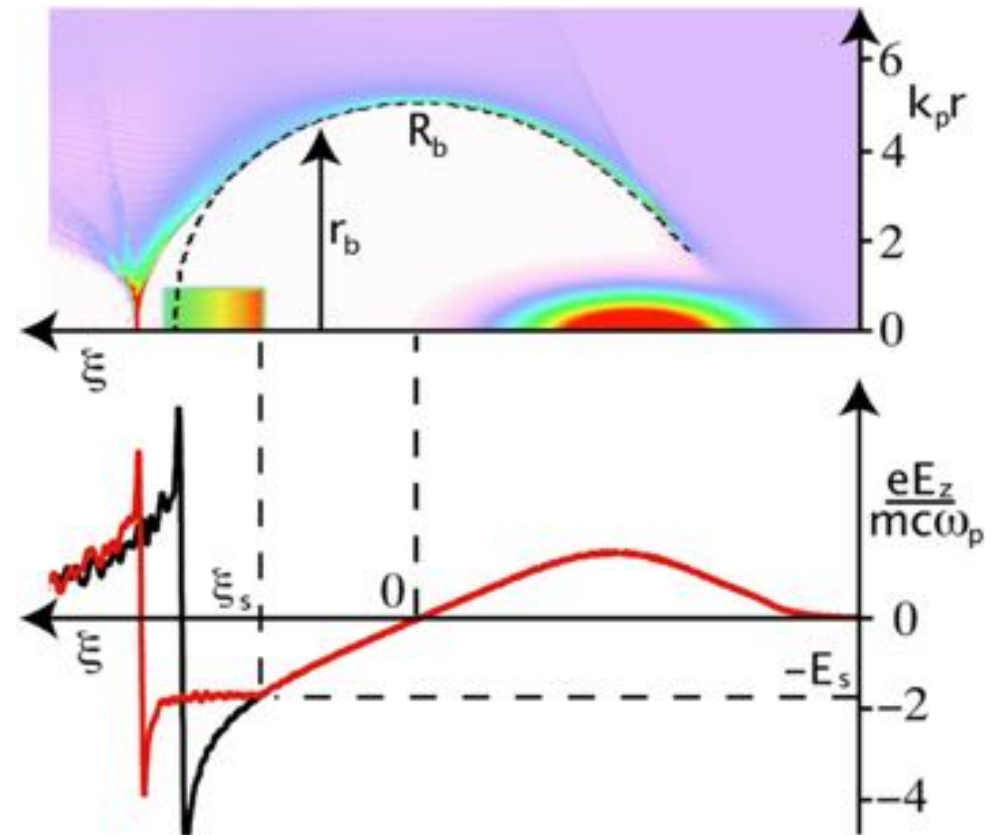
Orbit kick method: The gain process was spoiled by kicking the e beam at the entrance of the third undulator; The maximum power gain in the third undulator approximates 100-fold.

Spontaneous emission calibration: The spontaneous emission curve was fitted by spoiling the energy spread of the e beam.

Slide courtesy of Ke Feng

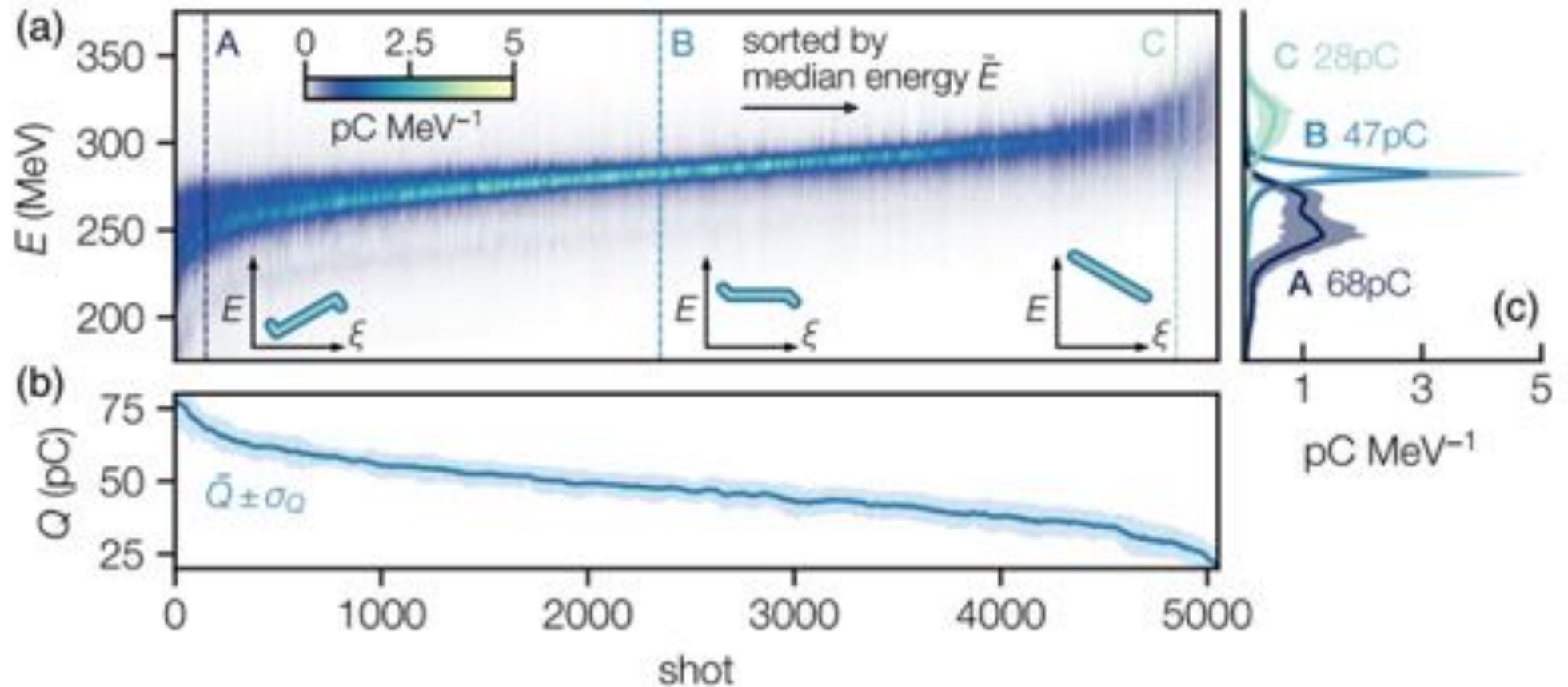
Beam loading in plasma accelerators

- Self-fields of bunch superimpose the wakefield
 - → reshaping plasma accelerating structure
 - Reduction of effective acceleration gradient
 - Injection of an optimum charge with a specific shape
- flattening of the accelerating field, low energy spread



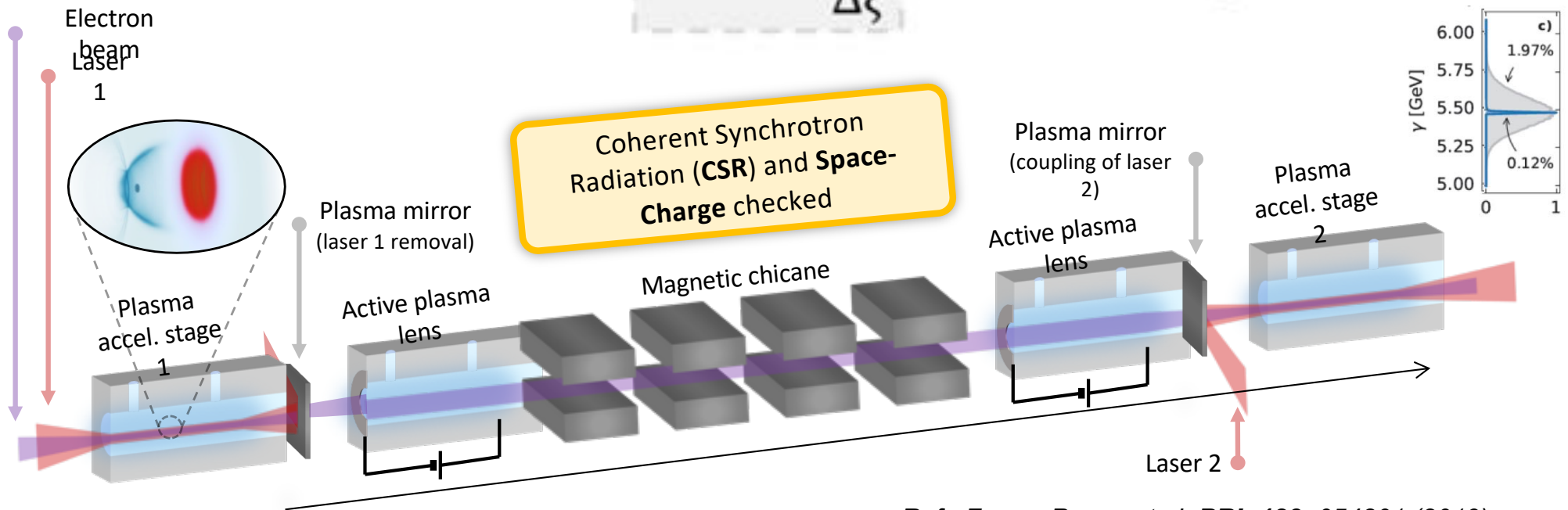
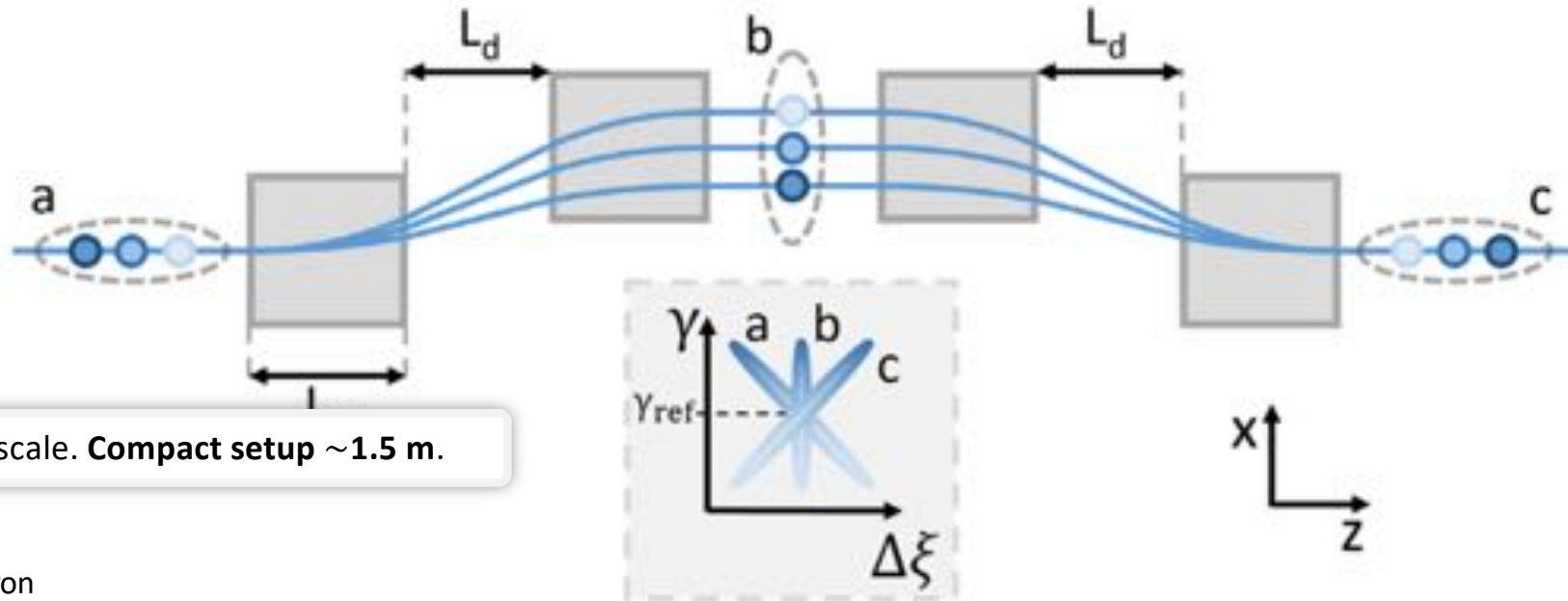
Tzoufras et al., Physics of Plasmas **16**, 056705 (2009)

Demonstration of optimal beam loading in LWFA



Kirchen, Manuel, et al. "Physical Review Letters 126.17 (2021): 174801.

Compensation du E-chirp dans un compensation in 2-stage LWFA

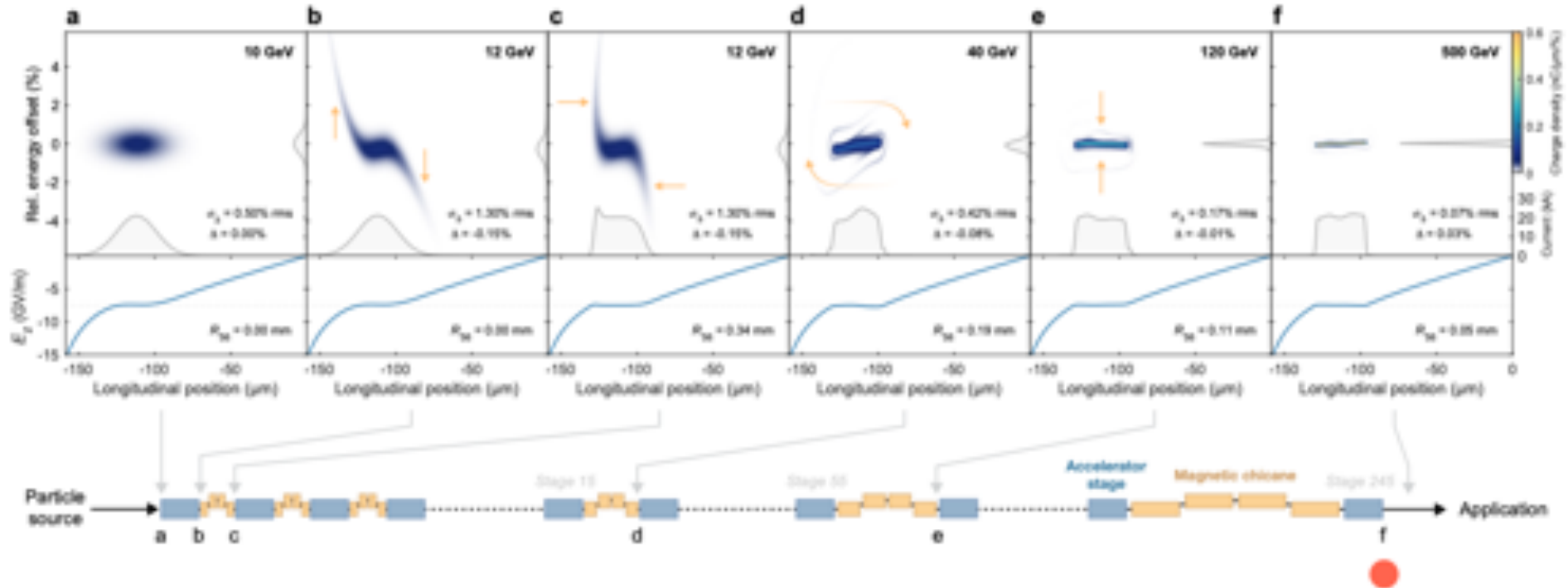


Ref.: Ferran Pousa et al. **PRL 123**, 054801 (2019)

Accélérateur multi-étage: stabilisation de phase passive

Lindstrom, [arXiv:2104.14460](https://arxiv.org/abs/2104.14460)

A SELF-CORRECTION MECHANISM IN LONGITUDINAL PHASE SPACE



End result:

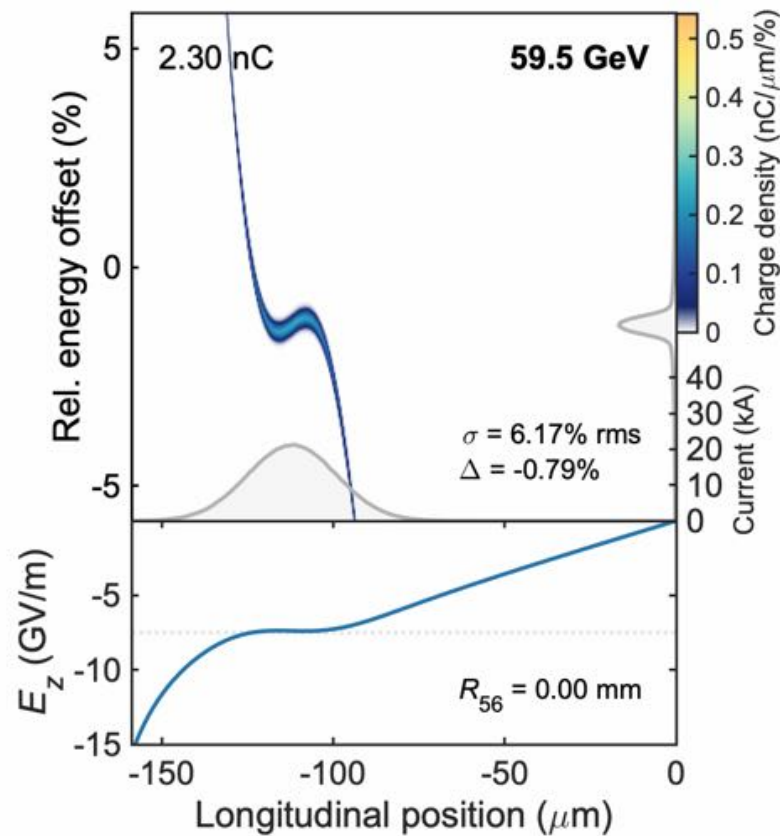
Optimal current profile, flattened wakefield
low energy spread, small energy offset

Stabilisation de phase passive (Lindstrøm , 2021)

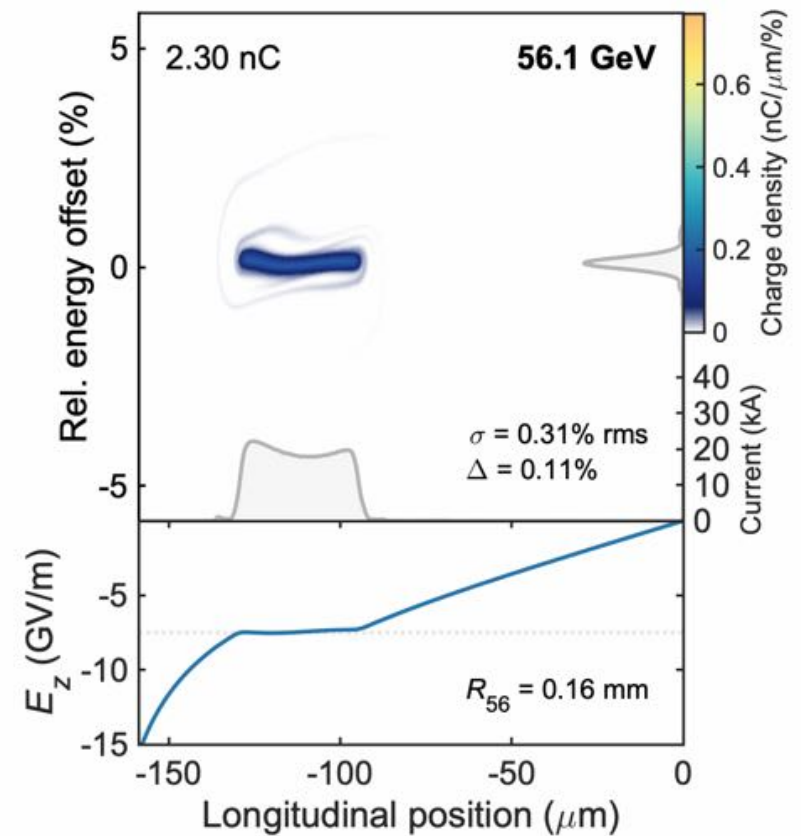
A SELF-CORRECTION MECHANISM IN LONGITUDINAL PHASE SPACE

Lindstrom, [arXiv:2104.14460](https://arxiv.org/abs/2104.14460)

*No R_{56} —no correction
(same as before)*



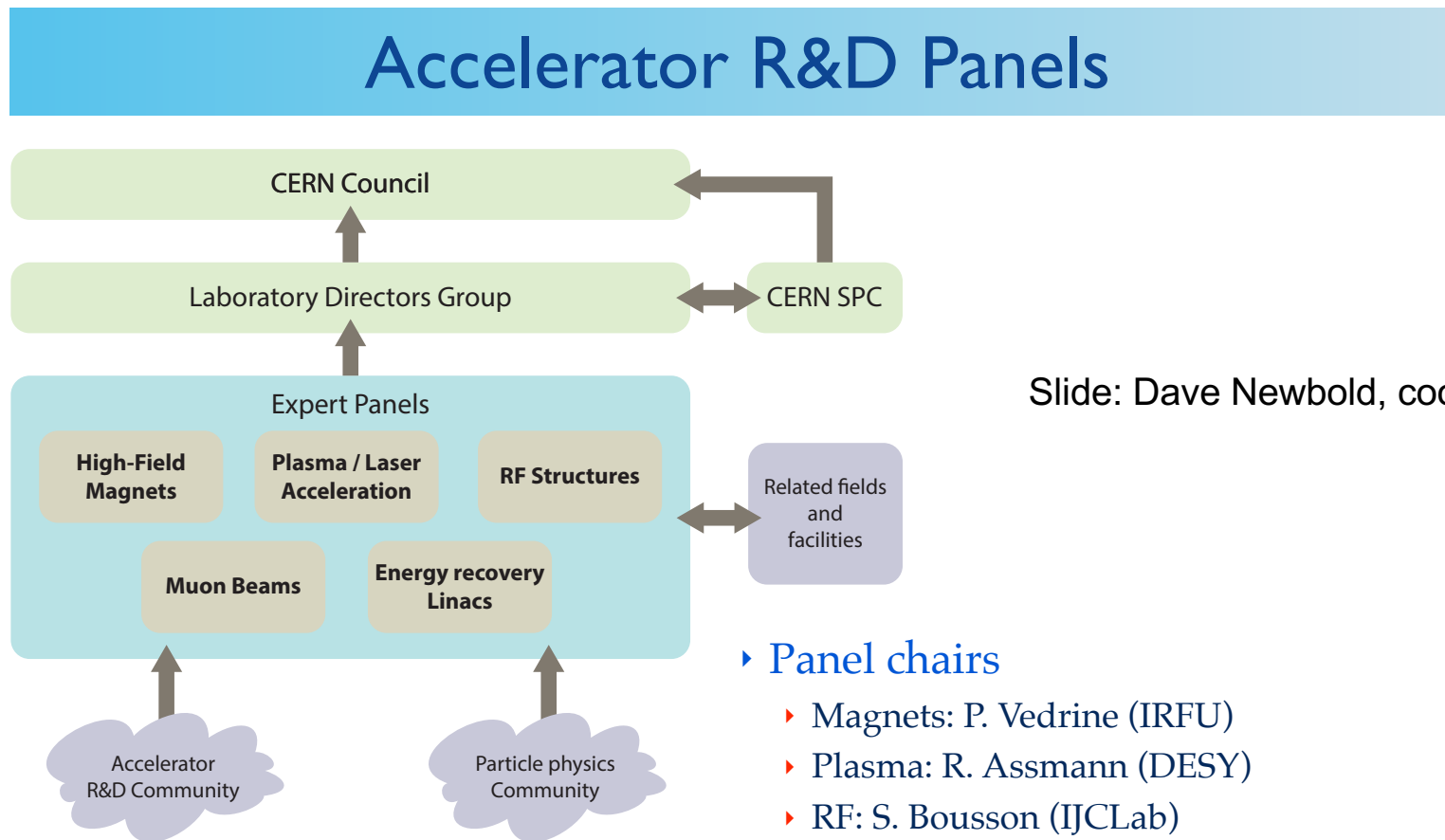
With multistage correction



Résumé

- Avec des lasers PW il est facile de produire des paquets d'e⁻ de qq's 100aines de pC, de ~1GeV avec qualité moyenne
- La physique de l'accélération est bien comprises et reste simple à $P_{\text{LASER}} > 1 \text{ PW}$. (cf. présentation de Gilles Maynard)
- La qualité et la stabilité du laser sont primordiales pour obtenir des faisceaux d'e⁻
- APOLLON a démontré son potentiel pour ALPe >1GeV
- A l'international, de nombreuses activités pour l'amélioration de la qualité de faisceau ont abouti!
- Progrès nécessite de nombreux développements annexes: guidage, manipulation des faisceau d'e⁻, synchronisation, stabilisation active, machine learning, simulations « en temps réel »

Plasma accelerators community is requested to produce R&D roadmap for collider R&D (European Strategy of Particle Physics)



Slide: Dave Newbold, coordinator

Until 2026:

- 9 (?) deliverables
- R&D milestones at existing facilities

Panel chairs

- ▶ Magnets: P. Vedrine (IRFU)
- ▶ Plasma: R. Assmann (DESY)
- ▶ RF: S. Bousson (IJCLab)
- ▶ Muons: D. Schulte (CERN)
- ▶ ERL: M. Klein (Liverpool)
- ▶ A big thank you to all members of the international accelerator community who have contributed

Parameters for High Energy Study Case

Study multi-stage electron (positron) accelerator from 175 GeV to 190 GeV:

Parameter	Unit	Specification
Beam energy (entry into module)	GeV	175
Beam energy (exit from module)	GeV	190
Number of accelerating structures in module	-	≥ 2
Efficiency wall-plug to beam (includes drivers)	%	≥ 10
Bunch charge	pC	833
Relative energy spread (entry/exit)	%	≤ 0.35
Bunch length (entry/exit)	μm	≤ 70
Convolutd normalized emittance ($\gamma\sqrt{\epsilon_h\epsilon_v}$)	nm-rad	≤ 135
Emittance growth budget	nm-rad	≤ 3.5
Polarization	%	80 (for e^-)

- Full lattice
- In/out coupling
- All magnetic elements
- Correctors
- Diagnostics
- Collective effects
- Emittance, efficiency
- Include realistic imperfections
- Betatron radiation
- Estimate of realistic performance
- Estimate realistic footprint
- Estimate realistic benefits in cost and size
- Understand scaling with beam energy for different technologies (laser, e^- , p driven, DLA/THz)

- “Livable” important envisagé pour 2026
- complication: 4 technologie (laser, e, p, DLA)

Perspectives d'avenir

- Les accélérateurs plasma font partie de la FdR européenne
 - EuPRAXIA sur la ESFRI roadmap -> Applications XFEL
 - CERN expert panel définira l'implémentation de FdR R&D pour HEP
- Simulations
 - Design study d'une section accélératrice 175GeV->190GeV
 - "start-to-end" avec entrées/sorties et transports
 - Aussi: accélération de positrons, polarisation de spin
- Expériences (at existing facilities: APOLLON, PALLAS)
 - Source d'électrons (injecteur) haute qualité
 - Source de positrons